

Vysoká škola: strojní a textilní Fakulta: strojní
Katedra: obrábění a montáže Skolní rok: 1989/90

ZADÁNÍ DIPLOMOVÉ PRÁCE (PROJEKTU, UMĚLECKÉHO DÍLA, UMĚLECKÉHO VÝKONU)

pro Martina Schmidta
obor 23-20-08 výrobní stroje a zařízení pro strojírenskou výrobu

Vedoucí katedry Vám ve smyslu nařízení vlády ČSSR č. 80/1980 Sb., o státních závěrečných zkouškách a státních rigorozních zkouškách, určuje tuto diplomovou práci:

Název tématu: Jednoučelové zařízení k vyvrtávání ok ojnic

Zásady pro vypracování:

1. Politicko-hospodářský rozbor.
2. Analýza současného stavu.
3. Návrh řešení a technologie.
4. Konstrukční zpracování.
5. Popis.
6. Technicko-ekonomické zhodnocení.
7. Závěr

V 112/90S

VYSOKÁ ŠKOLA STROJNÍ A TEXTILNÍ
Ústřední knihovna
LIBEREC 1, STUDENTSKÁ 8
PSČ 461 17

KVS/OS

Rozsah grafických prací: 5 výkresů + dle potřeby

Rozsah průvodní zprávy: 30 stran textu

Seznam odborné literatury:

- 1/ DP - REISNER, VŠST 1975
- 2/ BRENÍK, P. - PÍČ, J.: Obráběcí stroje, Praha SNTL 1985
- 3/ CHVÁLA, B. - NEDBAL, J. - DUNAY, G.: Automatizace, Praha, SNTL 1985
- 4/ KÖNIG, V.: Jednoúčelové a stavebniceové stroje pro třískové obrábění, Liberec VŠST 1989
- 5/ Podklady ČKD Hronov

Vedoucí diplomové práce: Ing. Přemysl Pokorný, CSc.

Konzultant: s. Burdych - ČKD Hronov

Datum zadání diplomové práce: 10. 10. 1989

Termín odevzdání diplomové práce: 1. 6. 1990 / 7. srpna 1990



Doc.Ing.Jaromír Gazda,CSc.

Vedoucí katedry

Prof.Ing.Vladimír Prášil,DrSc.

Děkan

v Liberci dne 10.10. 10.89

Výrobní řízení sítě rojů a krytů lidí v leteckém

Plánované výroby

Výroba sítě rojů a krytů lidí

popis: Zpracování výroby sítě rojů a krytů lidí pro všechny informace

Výrobní řízení sítě rojů a krytů lidí

Plánované výroby sítě rojů a krytů lidí

1000 - 500 - 300

Plánované výroby

Výrobní řízení Ing. Alfonz Polánek, OHC, Výroba lidí

Výrobní řízení Ing. Alfonz Polánek, Výroba lidí

UNIVERZITNÍ KNIHOVNA
TECHNICKÉ UNIVERZITY V LIBERCI



3146076762

Datum: 10. srpen 1998

Vysoká škola strojní a textilní v Liberci

Fakulta strojní

Katedra výrobních systémů

obor: 23-20-08 výrobní stroje a zařízení pro strojírenskou výrobu

zaměření: Obráběcí a montážní stroje

JEDNOČELOVÉ ZAŘÍZENÍ K VYVRAŤÁVÁNÍ OK OJNJC

KVS - OS - 205

Martin Schmidt

Vedoucí práce: Ing. Přemysl Pečorný, CSc., vŠST Liberec

Konsultant: p. Zdeněk Burdych, ŠKD Hronov

Počet stran	77
Počet příloh	19
Počet tabulek	4
Počet obrázků	3
Počet modelů nebo jiných příloh	0

UNIVERZITNÍ KNIHOVNA
TECHNICKÉ UNIVERZITY U LIBERCI



3146076762

Datum: 17. srpna 1990

MÍSTOPŘÍSAŽNÉ PROHLAŠENÍ

Místopřísahně prohlašuji, že jsem diplomovou práci vypracoval samostatně s použitím uvedené literatury.

Podpis: 

V Liberci dne 15. srpna 1990

<u>CONTENU:</u>	str.
Seznam použitých symbolů a zkrátek	7
ÚVOD	8
1. POLITICKO-HOSPODÁŘSKÝ ROZBOR	10
2. ANALÝZA SOUČASNÉHO STAVU	13
2.1. Výroba ojnic	13
2.1.1. Stručný technologický postup	14
3. NÁVRH ZJEDNODUŠENÉHO VŘETENÍKU	16
3.1. Zpevnění ramene vrtačky	16
3.2. Zjednodušený a normalizovaný vřeteník	16
3.3. Zpevnění vřetene proti radiálním silám	16
3.4. Vrtání oka u 27,5 B8	17
3.4.1. Vrtání na jádro	17
3.4.2. Vrtání zplna	17
3.4.3. Předvrtání pouze velkým vrtákem \varnothing 70 mm	18
3.4.4. Vrtání stupňovitým vrtákem \varnothing 25 mm a \varnothing 70 mm	18
3.4.5. Postupné vrtání \varnothing 30 mm, pak \varnothing 73 mm	19
3.4.6. Vyvrtávací hlava s SK plátky	19
3.4.7. Vyvrtávací hlava s plátky z povlak. materiálů	19
3.4.8. Vyvrtávací hlava s noži z R0	21
3.5. Předběžný návrh posuvů a otáček	21
3.5.1. Jedny otáčky a jeden posuv	21
3.5.2. Otáčky plynule regulačním stejnosměrným elektromotorem	22
3.5.3. Stupňovité řazení otáček a posuvů	22
3.6. Řazení	22
3.6.1. Elektrohydraulické řazení	23
3.6.2. Řazení pomocí elektromagnetických spojek nebo pomo-	

	str.
cí elektromagnetů a tábel	23
3.6.3. Rušní řazení	23
3.7. Skříň vrtačky	24
4. TECHNOLOGIE VÝROBY PŘI NOVÉM ŘEŠENÍ	25
4.1. Hrubování otvorů u ojnice 275 III	25
4.2. Hrubování otvorů u ojnice 27,5 B8	25
4.3. Vrtání na čisto	26
5. VÝPOČTY	27
5.1. Návrh elektromotoru	27
5.1.1. Výkon a řezné síly při vrtání \emptyset 30 mm (27,5 B8) ...	27
5.1.2. Výkon a řezné síly při vrtání \emptyset 73 mm	28
5.1.3. Výkon a řezné síly při vrtání \emptyset 120 mm	28
5.1.4. Výkon a řezné síly při vrtání \emptyset 122 mm (275 III) ..	29
5.1.5. Návrh elektromotoru	29
5.2. Návrh převodů	30
5.2.1. Převody otáčkové	30
5.2.2. Převody posuvové	32
5.3. Kontrola navržených kol	37
5.3.1. Kontrola ozubených kol na dotyk	37
5.3.1.1. Otáčková kola	39
5.3.1.2. Posuvová kola	42
5.3.2. Kontrola ozubených kol na ohyb	45
5.3.2.1. Otáčková kola	47
5.3.2.2. Posuvové kola	49
5.3.2.3. Pevnostní výpočet šneků a šnekového kola	51
5.4. Kontrola ložisek	54
5.4.1. Výpočet reakcí otáčkových kol	55
5.4.2. Výpočet reakcí posuvových kol	56
5.4.3. Kontrola ložisek otáčkových kol	61

str.

5.4.4. Kontrola ložisek posuvových kol	62
5.5. Kontrola per a drážkování na otlačení a kolíku na stříh	63
5.5.1. Kontrola u otáčkových kol	64
5.5.2. Kontrola u posuvových kol	66
5.6. Kontrola hřídelní	67
6. POPIS	68
6.1. Kompletáž vrtacího stroje	68
6.2. Hlavní parametry	68
6.3. Protizávaží	69
6.4. Popis práce při hrubování	70
6.4.1. Hrubování otvorů u ojnice 27,5 BE	70
7. TECHNICKO-EKONOMICKÉ ZHODNOCENÍ	72
7.1. Obráběcí časy u ojniční klavy a oka při hrubování	72
7.1.1. Výpočet časů na hrubování u ojničního oka	72
7.1.2. Výpočet časů na hrubování u ojniční klavy	72
7.1.3. Porovnání časů obou operací	73
7.2. Výhody pracoviště na vrtačce VR 3A	73
7.2.1. Úspora časů při hrubování a obrábění načisto	73
7.2.2. Úspora a využití pracoviště	74
7.2.3. Úspora vedlejších časů	74
8. ZÁVĚR	75
SEZNAM PŘÍLOH	76
SEZNAM POUŽITÉ LITERATURY	77

Seznam použitých symbolů a zkrátek:

- RO - rychlořezná ocel
SK - slinutý karbid
n - otáčky
s - posuv na otáčku
v - obvodová rychlosť
D,d - průměr
i - převodové číslo
 α - úhel záběru
 β - úhel sklonu zuba
q - součinitel
 γ - úhel stoupání šroubovice
 b_n - délka zuba
 z_n - náhradní počet zubů
 ρ_h - redukovaný poloměr křivosti v místě dotyku
 F_N - normální síla
 F_A - axiální síla
 F_t - obvodová síla
 F_r - radiální síla
 μ - poissonovo číslo
E - modul pružnosti v tahu
L,l - délka
p - otlačení
 σ_s - napětí ve střihu
 M_N - pracovní (nominální) kroutící moment
T,t - obráběcí čas
p,k - délka náběhu a přeběhu

Veškeré ostatní použité symboly jsou uvedeny u příslušných kapitol.

ÚVOD

Strojírenská výroba zaujímá v našem státě velice významné místo. Je to dáno především tím, že export většiny strojírenských výrobků musí z velké části uhradit importní prostředky naší ekonomiky, zejména však surovin, energie a některých spotřebních předmětů. Má význam také národohospodářský, protože musí výrazně přispět k obohacení našeho vnitřního trhu. Odbyt strojírenských výrobků souvisí především s jejich kvalitou.

Nynější doba nám otevřeně ukazuje, jak se promítají chyby v hospodaření na odbyt, především do západní Evropy. Toto je dáno především malou pružností reagovat na požadavky trhu, velkou zaostalostí strojního parku, administrativního zařízení. Největší zpoždění za světovým trendem je v elektrotechnice, mikroelektrotechnice a také ve strojírenství. Menší požadavky na kvalitu jsou příčinou, že o naše zboží v zahraničí je stále menší zájem. Světové trhy se snadno ztrácení, ale jen velmi těžko se dobývají zpět. Zařízení nebo výrobek, který jednou ztratí své dobré jméno, je v dnešní době odsouzen k tomu, že minimálně několik let se bude navracet na bývalé místo.

Jak již "dlouho víme" jedině výrazné změny ve struktuře a řízení našeho průmyslu mohou řešit nynější situaci a problémy. K úspěšnosti takových radikálních změn se musíme snažit přispět všichni co nejvíce.

Technologie vrtání velkých děr byla v minulosti okrajovou sférou strojního obrábění. Používala se především pro hrubovací práce. Práce dokončovací se prováděly jinými technologiemi /broušení, jemné soustružení/. Do popředí se dostala především tím, že se začaly využívat nová konstrukční provedení vyvrtávacích hlav. Tyto konstrukce spočívaly v tom, že se

ve výrobě začaly používat nové druhy obráběcích materiálů. Jako např.: destičky ze slinutých karbidů nebo destiček s povlakovanými materiály. Použití těchto nových materiálů přineslo zvýhodnění v tom, že se mohly zvýšit značně řezné podmínky, především však řezná rychlosť. Dále se dospělo k tomu, že se mohly obrábět materiály o vyšších pevnostech. Zavedením nových materiálů dalo vznik i konstrukci nových vrtáků, jako např.: vrtání na jádro nebo vrtání velkých průměrů zplna. Tento problém však v našem strojírenství není dořešen, a proto se musíme obracet k západním firmám.

Použití těchto nových vrtáků a vyvrtávacích hlav se nejvíce uplatní na jednoúčelových obráběcích strojích. Velkou výhodou těchto jednoúčelových obráběcích strojů je to, že jsou přímo konstruovány na danou operaci i na dané řezné podmínky. Tímto se dá docílit velice efektivní výroby, která je bezpodmínečně nutná k tomu, aby naše strojírenství bylo jedním z nejefektivnějších oborů naší ekonomiky.

Dostáváme se k závěru, že jedním z nejvýhodnějších řešení ve strojírenské výrobě je zavádění a používání jednoúčelových obráběcích strojů. Tímto problémem se bude zabývat také diplomová práce.

1. POLITICKO-HOSPODÁŘSKÝ ROZBOR

Závod ČKD Hronov je oborově specializovanou organizační jednotkou státního podniku ČKD Praha, kombinát, která má určen hlavní organizační program v oborech:

161 - odlitky ze šedé litiny,

366 - specializované konstrukční uzly pro dieselmotory,

338 - převodová zařízení, především lodní reduktory a vratné převodovky,

405 - regulátory pro naftové motory,

482 - specializované konstrukční uzly pro dieselmotory.

Podíl výroby odlitků z celkové výroby postupně klesá.

Vyrábějí se ručně formované odlitky ve váhovém rozsahu 20 - 4000 kg čisté váhy. Odlitky jsou určeny především pro vlastní spotřebu v závodě, dále jako výroba zboží pro externí zákazníky, s určitým podílem dodávek pro ostatní organizační jednotky kombinátu.

V oborech 366 - 482 má závod určen výrobní program uzlovou specializaci, stanovenou ředitelstvím kombinátu, podle níž je již dlouho zajištována výroba dieselmotorů a dieselagregátů v ČKD Praha. Závod vyrábí podle převzaté dokumentace technologicky specifické konstrukční skupiny středních a těžkých naftových motorů. Jde například o skládané písty větších průměrů než je průměr 380 mm, 3x dělené ojnice, pístní čepy, ozubená kola, dmychadla a další díly. Podíl výroby těchto oborů činí zhruba 30 % z celkové výroby závodu.

V oboru 338 vyrábí závod lodní převodovky určené pro kompletáž lodních pohonů. Tyto převodovky závod sám vyvíjí nebo provádí konstrukční inovace na převzatých konstrukcích. Stále

větší význam mají nové typy, umožňující přenos vysokých výkonů, dosahovaných přeplňováním dieselmotorů. Výroba převodových zařízení má podíl 20 - 30 % na celkové výrobě závodu.

V oboru 405 vyrábí závod regulátory otáček naftových motorů středních a velkých výkonů a dodává je prakticky všem výrobcům naftových motorů v ČSFR jako monopolní dodavatel. Jedná se o technicky a výrobně značně náročné mechanicko-hydraulické, elektrické a elektronické zařízení. Regulátory ČKD Hronov snesou srovnání se zahraniční úrovni a jsou používány v dieselelektrických lokomotivách, dieselcentrálách pro výrobu elektrické energie, u lodních pohonů i na supertěžkých vozidlech například typu BELAZ s motory PA - 4. Regulátory mají podíl 25 - 30 % na celkovém objemu výroby závodu.

Zbývající část výroby závodu připadá na doplňkové výrobní obory, jakými jsou modelová zařízení, nářadí a jiné. Důležitost výroby závodu ČKD Hronov je dána tím, že jeho výrobky jsou určeny především pro nepřímý vývoz /kompletuje finální exportní produkci kombinátu ČKD Praha a dalších závodů/, ale i tím, že existuje trvalá a stoupající poptávka, takže zásoba práce zajišťuje zaměstnanost a tím i prosperitu závodu.

Obory regulátorů a převodových zařízení jsou rozvojovými výrobními programy závodu ČKD Hronov a jsou také ve všech směrech vytvářeny předpoklady růstu jejich technické úrovně. Vedle nich se rozvíjí výroba v oborech zajišťující dodávky dílů a součástí naftových motorů, které svým množstvím a inovačemi jsou přímo závislé na rozvoji finálních oborů výrobců naftových motorů především v rámci kombinátu ČKD Praha. Způsob dosažení žádaného stupně rozvoje u nosných oborů závodu je založen na změnách uvnitř těchto oborů, především na technickém rozvoji a odbytových možnostech.

U regulátorů se počítá do roku 1995 s trvalým růstem výroby mechanicko-hydraulických motorů. Bude se jednat především o výrobu malého regulátoru do 5 Joulů pro méně náročné aplikace naftových motorů. Do roku 2000 se počítá s inovací stávajících regulátorů řady PI 200.

Převodová zařízení mají stanoven úkol technického rozvoje na vývoj převodovek k typům naftových motorů vyráběných v kombinátě ČKD Praha. S ohledem na specializaci výrobního programu kombinátu dojde ke změnám i v závodě ČKD Hronov. Bude se jednat o vymezení vyráběného sortimentu podle druhů, výkonů a provedení tak, aby došlo k ucelení výkonových řad a typů vyráběných převodovek.

Další rozvoj stávající technologie výroby vychází z trendu růstu výroby a váže se přímo na technický rozvoj, výrobkovou investici a na změny výrobní základny, zejména v jejím technickém vybavení. Současná technologie je pokroková a odpovídá skladbě a charakteru současného sortimentu vyráběné produkce. Převažují technologie obrábění /65 %/ prováděné na konvenčních strojích. Vyšší růst výroby lze dosáhnout nasazením a plným využitím NC center. Hlavní progresivní technologie jsou založeny na racionalizaci a modernizaci oboru 405 a 338, dále na zajištování elektronických řídících a regulačních systémů, na zavedení progresivní formy zkoušení výrobků, v oblasti řešení technologických celků, pak na centralizaci výroby, například ozubených kol, těles, vík a přírub. Dále na racionalizaci hospodaření s materiálem, organizaci a řízení výroby a dále na konstrukci účelové a speciální výrobní techniky.

2. ANALÝZA SOUČASNÉHO STAVU

Jak již bylo uvedeno, závod ČKD Hronov vyrábí jako jeden ze specializovaných uzelů ojnice velkých naftových motorů. Jedná se o ojnice pro naftové motory od Ø vrtání 275 do 430 mm, tj. konkrétně pro motory typu 6 SL 275 III, 6 SL 350, 9 SL 350, 8 DR, 6 L 27,5 B8. Skládá se z těchto hlavních částí: dříku s nalisovaným pouzdrem a připevněnou trubkou pro přívod oleje, ložiska a víka s axiálním vedením spojovacích lícovaných šroubů /4 nebo 2 ks podle typu ojnice/, matic a vložek. Hlavními detaily ojnice jsou dřík a ložisko s víkem, které dohromady tvoří ojniční hlavu. Výstelka ojniční hlavy je vylévaná staničovou kompozicí ČSN 42 3753.

2.1. Výroba ojnic

V současné době má největší podíl z celkové produkce výroba a kompletáž motorů typu 6 SL 275 III a 6 L 27,5 B8. Počet vyráběných ojnic typu 275 III je zhruba 500 ks ročně a ojnic 27,5 B8 1000 ks ročně. Z důvodu většího opotřebení se pro servis vyrábí zvláště ojniční hlavy v počtu přibližně 1000 ks ročně. Z toho je patrné, že se jedná o malosériovou výrobu.

Pro výrobu těchto ojnic bylo vytvořeno předmětné pracoviště. Při jeho řešení a realizaci byla hlavní pozornost zaměřena na zprodukční výroby ojnic, snížení materiálových a energetických nákladů, snížení fyzické a duševní námahy, zlepšení manipulace, zvýšení kvality a organizace práce.

Tyto pracoviště se skládají z 11 strojů. Z toho jsou 3 stroje NC /2 karusely SKJ 8 NC, 1 fréza FCR 50 NC/, 2 stroje jednoúčelové /LKI 364, LKI 365/, 3 stroje řízené narážkami /navr-

távací a zarovnávací stroj FZWD 160 x 1600, portálová fréza FBDW 2 x 630 x 2000, pila PHA 27/ a 3 stroje konvenční /vrtačka VR 8 nebo VR 8A, vodorovná vyvrtávačka W 100 a soustruh SU 90 x 1250/.

Technologický postup výroby ojnice 275 III je částečně odlišný od výroby ojnic 27,5 B8. Tato odlišnost spočívá především v tom, že ojnice 275 III je dělená na 2 části a ojnice 27,5 B8 na 3 části /dřík, spodní a horní část ojniční hlavy/. Polotovar dříku je u 275 III výlisek a u 27,5 B8 záplastkový výkovek /ojniční hlava je kompletně s polotovarem/. V průběhu technologického postupu se provádí rozříznutí na dvě části / u 27,5 B8 na tři části/. Vzhledem k požadované kvalitě výchozího materiálu jsou u polotovarů požadovány materiálové atesty u všech výlisků /výkovků/.

2.1.1. Stručný technologický postup

- výkovky /výlisky/ vydat v abecedně označených sadách pro motor dle hmotnosti v toleranci ± 2 kg
- kontrola atestů dle specifikace
- kontrola trhlin inkarem a odmagnetování
- celou ojnici prorýsovat, vyznačit osy, šíři řezu, číslo tavby
- upnout na stůl, vyrovnat, oboustranně zarovnat náboje a vrtat délky
- v hrôtech soustružit průměry dle podrobnějšího postupu
- frézovat oboustranně velkou i malou hlavu, rovnoměrně rozdělit přídavek a srazit hrany
- brousit jednu stranu a kontrolovat kolmost
- upnout do přípravku na broušenou plochu a vyhrubovat společ-

ně otvory v malé i velké hlavě, oboustranně srazit hrany
- rozříznout na 2 /3/ díly /před rozříznutím očíslovat v šabloně/

Další postup pro opracování dosedacích ploch dříku a víka
ojniční hlavy /dříku, spodního a horního dílu ojniční hlavy/
se bude provádět dle specializovaného technologického postupu
pro ojnici 275 III /27,5 B8/ viz. příloha č. 1 a č. 2.

Pro další řešení diplomové práce si budeme všimmat přede-
vším ustavení a vyhrubování otvorů u obou ok ojníc. U ojnice
275 III se jedná o operaci č. 18 a u ojnice 27,5 B8 je to ope-
race č. 15 /podrobnější technologický postup - viz. příloha
č. 1 a č. 2/. V současné době se v této operaci provádí vyhru-
bování obou ok ojnice současně na vodorovné vyvrtávačce W 100.
Po vyvrtání dochází k rozříznutí ojniční hlavy /u 27,5 B8 do-
jde ještě k odříznutí celé ojniční hlavy/, na které je dán pří-
davek na prořez u 275 III 10 mm a u 27,5 B8 12 mm. Při obrábě-
ní otvoru ojniční hlavy na čisto, po opracování dosedacích
ploch a vyvrtání děr šroubů, dojde k opětovnému smontování oj-
niční hlavy. Po tomto smontování má díra ojniční hlavy čočko-
vitý tvar. Tento tvar není moc příznivý pro další obrábění na-
čisto, protože vzniká neplynulá hloubka odebírané třísky a tím
dochází ke vzniku vibrací.

Tímto rozborem se dostáváme až k účelu diplomové práce,
čímž je navržení jednoúčelového zařízení pro vyvrtání ok ojníc.

3. NÁVRH ZJEDODUŠENÉHO VŘETENÍKU

Návrh spočívá v tom, že se vyvrtávání ojnic /ojničních ok/ přesune z vodorovné vyvrtávačky W 100 na standartní stroj, kterým je vrtačka VR 8 nebo VR 8A.

3.1. Zpevnění ramene vrtačky

Tato varianta nese s sebou řadu problémů, jakými jsou například zpevnění ramene vrtačky. Toto zpevnění se může provést nejlépe pomocí normalizovaného sloupu, který se vyrábí společně s vrtačkou, a který výrobce na požadání zašle.

3.2. Zjednodušený a normalizovaný vřeteník

Druhým problémem je, že dva normalizované vřeteníky se na rameno vrtačky sice vejdou, ale pro vyvrtávání ojnic 275 III /27,5 B8/ se nedostanou na požadovanou rozteč 700 mm /766/. Proto se zde nabízí otázka řešení vřeteníku, který by byl především užší, a tím jednodušší. Pro náš případ by stačilo, aby nový vřeteník měl troje otáčky a dvě posuvové rychlosti vřetení, rychloposuv a reverzaci. Na rameno vrtačky dáme jeden vřeteník normalizovaný a jeden vřeteník zjednodušený, aby náklady na výrobu vřeteníku byly co nejmenší.

3.3. Zpevnění vřetene proti radiálním silám

Jako třetí problém se jeví zpevnění vřetene proti radiálním výchylkám při vyvrtávání. Tento problém se dá vyřešit naváděcím trnem vyvrtávací hlavy, který by byl veden

v pouzdře. Z toho je patrné, že přípravek pro upnutí bude muset obsahovat i toto vedení. S tímto problémem je spojeno i to, že ojnice 27,5 B8 má u menšího oka neprůchozí díru, čímž vzniká problém s navrtáváním.

Při návrhu vřeteníku budeme nejvíce sledovat operaci vrtání otveru v oku u ojnice 27,5 B8, kde jak je patrné z výkresu výkovku /příloha č. 3/, není průchozí otvor.

3.4. Vrtání oka u 27,5 B8

3.4.1. Vrtání na jádro

Tato varianta by byla na řezné časy sice velmi výhodná, ale vyskytl se zde problém s tuhostí vrtáku /členitý výkovek/, ze kterého by plynulo jeho spodní vedení, což je při vrtání na jádro velmi složité. Další problém by nastal s odvodem třísek pomocí tlakového oleje, kde by se musela dořešit otázka výroby a přívodu tlakového oleje a krytí proti roztržku.

Problém by byl také s nákupem tekového vrtáku, který se tak velký v ČSFR nevyrábí. Bylo by nutné obrátit se na zahraniční firmy, např.: SANDVIK Coromant, SIG, SECO /problém s valutami/ nebo si vrták zhotovit ve vlastním závodě.

Tato varianta by se vyplatila především pro sériovou a velko-sériovou výrobu a ne pro výrobu kusovou, jak je patrné z bodu 2.1.

3.4.2. Vrtání zplna

Tato varianta je také časově velmi výhodná, oproti předchozí variantě zde odpadí problém se spodním vedením vrtáku, protože tento vrták je dostatečně tuhý a může vrtat i do šikmých

ploch. Odpadá problém s odvodem třísek. Tato varianta naráží však na další problémy, například:

příliš velký elektromotor /asi 25 kW/, zachytávání axiální síly, která by byla asi 70 000 - 80 000 N. Problém s opatřením nástroje je jako u bodu 1. Avšak ani zahraniční firma nezaručuje požadované řezné vlastnosti u takto velkých průměrů vrtáků. Otázkou je také trvanlivost destiček z SK. Protože se jedná o dost velký průměr /120 mm/, tak destičky u středu by měly mnohem větší životnost než destičky na okraji /hráje zde roli řezná rychlosť, která je funkci $\varnothing D$ /.

Tato varianta by měla uplatnění v sériové a velkosériové výrobě.

3.4.3. Předvrtání pouze velkým vrtákem $\varnothing 70$ mm

Toto řešení nese s sebou problém s axiální silou /asi 50 000 N/.

Protože tyto vrtáky jsou konstruovány pro předvrstané díry, mají velkou špičku. Tím by nastalo to, že by ve středu díry byly značně velké měrné tlaky a teploty, protože zde není požadovaná řezná hrana. Muselo by se provádět podbroušení špičky nástroje, čím by se narušila celá koncepce nástroje a hlavně jeho životnost.

3.4.4. Vrtání stupňovitým vrtákem $\varnothing 25$ mm a $\varnothing 70$ mm

Toto řešení sice přináší úsporu řezných časů při předvrtání, ale s tímto problémem se my nepotřebujeme vyrovnávat, protože vrtáme současně otvor do hlavy i oka. Časy pro vrtání otvorů do hlavy jsou mnohem delší, jak je patrno z výpočtu.

Tento způsob má však nevýhodu v tom, že je zde komplikované opakování broušení. Musíme také počítat s určitým kompromisem otáček a posuvů pro oba průměry, čímž se změní hodně základní trvanlivosti nástrojů.

3.4.5. Postupné vrtání Ø 30 mm, pak Ø 73 mm

Pro předvrtání díry jsem zvolil nejdříve vrták Ø 30 mm a pak vrták Ø 73 mm. Ø 73 mm je volen z toho důvodu, aby bylo zaručené dostatečné spodní vedení, které bude 70 mm. Oba tyto vrtáky mají takřka optimální řezné podmínky.

Po předvrtání díry na Ø 73 mm nastaly další problémy při vyvrtávání otvorů o Ø 120 mm.

3.4.6. Vyvrtávací hlava s SK plátky

Tento způsob umožňuje zvýšení řezných rychlostí, ale ne na tolik, aby životnost nože s SK plátky byla úměrná oproti nožům z RO. Nože s SK plátky potřebují speciální nožové držáky, zatím co nože z RO se brousí z polotovarů a jejich výroba je velmi snadná a rychlá, možno je mnohem vícekrát ostřít než je počet řezných hran u destiček. Při obrábění se často stává, že se nůž zalomí nebo úplně zničí, a to si u nožů s SK plátky nemůžeme finančně dovolit.

3.4.7. Vyvrtávací hlava s plátky z povlakových materiálů

Má stejné výhody i nevýhody jako vyvrtávací hlava s noži s SK plátky. Výraznější nedostatek je pouze v tom, že u nás povlakové materiály jsou "pouze" ve vývojovém stádiu a tudíž

se nelze spolehnout na stejnou kvalitu povlaků u všech destí-
ček /zkušenost z praxe/ a dovoz téměř nepřichází v úvahu /pro-
blém s valutami/.

V návrhu bylo též několik variant uspořádání nožů ve vy-
vrtávací hlavě /2, 3 nebo 4 nože/. Tyto varianty byly závislé
především na řezných silách, které působí na jednotlivé nože.

3.4.8. Vyvrtávací hlava s noži z RO

Po všech těchto kritériích jsem se rozhodl dát nože z RO,
které jsou lehce dostupné, v závodě vyrobitelné a finančně
nejméně náročné. Ve vyvrtávací hlavě jsou uspořádány tak, že
dva nože jsou naproti sobě stupňovitě nad sebou.

3.5. Předběžný návrh posuvů a otáček

Jak bylo uvedeno, bude se jednat o jeden vřeteník norma-
lizovaný a jeden zjednodušený. Zjednodušený vřeteník bude na
rameně vrtačky připevněn na pevnou /nedalo by se s ním pohybo-
vat/ a normalizovaný by se pohyboval /vyvrtávání posunutých
otvorů u ojniční hlavy/. Pevný zjednodušený vřeteník by tedy
vyvrtával ojniční oka.

Pro tuto možnost se nabízejí tři varianty řešení vřeteníku.

3.5.1. Jedny otáčky a jeden posuv

Vřeteník by byl pouze pro jedny otáčky a jeden posuv,
protože poměr $\frac{D_1}{D_2} = \frac{122}{120} = 1,01667$ což je téměř stejný rozdíl
a na řezné podmínky by to nemělo mít žádný vliv, protože se
jedná o operaci brubování.

D1 Ø ojničního oka u 275 III

D2 Ø ojničního oka u 27,5 B8

V tomto bodě nastává problém v tom, že ojnici 27,5 B8 nemá průchozí otvor v ojničním oku. Tento otvor by se musel před-vrtávat na jiném pracovišti /stroji/.

3.5.2. Otáčky plynule regulovatelné stejnosměrným elektromotorem

Otáčky vřetene by byly plynule regulovatelné stejnosměrným elektromotorem. Jde o to, aby se na jednom stroji nechala dělat celá operace s předvrácením a vyhubováním kompletně u ojníc 27,5 B8. Toto řešení však s sebou nese otázku usměrňovače /jeho umístění na stroji/ a pak také plynulosť dodávky energie, aby se neměnil moc výkon, a tím i výstupní kroutící moment.

3.5.3. Stupňovité řazení otáček a posuvů

Otáčky vřetene by se měnily stupňovitě. Jednalo by se o třístupňové řazení, kde poslední stupeň by byl stejný pro hubování ojníc 27,5 B8 a pro ojnici 275 III, protože konečné otvory ok pro hubování jsou téměř stejné /viz. bod 3.5.1./.

3.6. Řazení

Tento jednoúčelový stroj má pouze 2 posuvové + rychloposuv a reverzaci a 3 otáčkové stupně. Tyto stupně jsou patrné z řezných podmínek uvedených v kapitole 5.1.

3.6.1. Elektrohydraulické řazení

Toto řešení se používá u moderních strojů, které mají větší rozsah posuvů a otáček. Tento variantou by se návrh zkomplikoval v tom, že by se musela zajistit výroba, rozvod a utěsnění tlakového média. Muselo by se jednat o dobré utěsnění, protože je zde kombinována hydraulická energie s energií elektrickou.

3.6.2. Řazení pomocí elektromagnetických spojek nebo pomocí elektromagnetů a táhel

Tyto varianty by byly dosti náročné na stavební prostor vrtačky, zvláště pak její výšku.

Ve všech těchto variantách by se dospělo ke zvýhodnění práce obsluhy stroje, která by stroj ovládala pouze tlačítka, ale na druhé straně by se zkomplikovala celá výroba a údržba zařízení. Z hlediska uplatnění by všechny varianty bylo možno použít pro stroj, který by měl velký rozsah posuvů i otáček.

3.6.3. Ruční řazení

Po zvážení všech hledisek pro řadící systém vyšel jako nejvhodnější ruční kulisový řadící systém. Tento způsob řazení je konstrukčně a výrobně velmi jednoduchý a po funkční stránce dosti spolehlivý. Jeho konstrukce je provedena pomocí suvných a rotačních systémů spojených kulisou. Jištění v daných polohách je provedeno kuličkou a pružinou.

Při tomto řazení musí však na vrtačce být nápis:
"ŘADIT POUZE ZA KLIDU".

3.7. Skříň vrtačky

Další problém byl s návrhem skříně vrtačky. Pro srovnání uvádím některé požadavky na svařované a lité skříně: V současné době není jasné, je-li výhodnější svařovat nebo odlévat. Pro velké součásti je zapotřebí při svařování více pracovníků než při odlévání. Jedná se především o vysoce kvalifikovaného svářeče, dosti velký polohovací stroj s manipulačním zařízením. Po svaření je zapotřebí v každém případě součást vyžíhat za odstraněním vnitřního pnutí. To představuje u velkých výrobků velmi velké žihací pece. Při svařování v některých místech nelze někdy zaručit dokonalé svařování ze všech stran /"menší" zaručená pevnost sváru u součásti/. Bezesporu lepší design je u odlévaných výrobků než u svařovaných. Na druhé straně je však svařování lepší pro menší počet vyráběných dílů, protože u odlévání musíme vyrobit model, který má trvanlivost několik desítek kusů výrobků a je dosti pracný.

Po zvážení všech hledisek a vzhledem k možnostem závodu ČKD Hronov vyšla jako lepší varianta odlévaná skříň. Hlavní hledisko proč skříň bude litá je, že závod ČKD Hronov má v místě vlastní slévárnu a především nemá větší žihací pece, které by byly bezpodmínečně nutné. Po svaření by nastal problém s dopravou svařence k vyžíhání, což by bylo v dnešní době dosti finančně a ekonomicky nerentabilní.

4. TECHNOLOGIE VÝROBY PŘI NOVÉM ŘEŠENÍ

Jak již bylo uvedeno, bude zjednodušený vřeteník vyvrtávat otvory v ojnicovém oku. Tento vřeteník bude připevněn na ramenu vrtačky VR 8A nepevně.

4.1. Hrubování otvorů u ojnice 275 III

Při této operaci budeme provádět dvojí hrubování otveru v ojnicové hlavě. Otvor v ojnicové hlavě se bude hrubovat 5-6 mm od osy na obě strany. Toto posunutí přibližně souhlasí s příslušníkem na prořez.

Ojnicové oko se bude hrubovat na \varnothing 122 mm společně s ojnicovou hlavou. Tyto dvě operace budou probíhat současně při hrubování prvního otveru v ojnicové hlavě. Po vyvrtání ojnicové hlavy bude tvar otveru téměř shodný s tvarem otveru na výkresu výlisku.

4.2. Hrubování otvorů u ojnice 27,5 R8

Hrubování ojnicové hlavy se bude provádět stejně jako u ojnice 275 III v bodě 4.1.

Ojnicové oko se bude vyvrtávat nejdříve vrtákem \varnothing 30 mm, potom vrtákem \varnothing 73 mm (spodní vedení má \varnothing 70 mm) a nakonec vyvrtávací hlavou \varnothing 120 mm.

Vrtání \varnothing 30 mm a \varnothing 73 mm se bude provádět při prvním hrubování ojnicové hlavy a vyvrtávání na \varnothing 120 mm při druhém hrubování ojnicové hlavy.

Jak je patrné z výše uvedeného postupu, bude nutné sledit hlavní a vedlejší časy na vyvrtání otvorů \varnothing 30 mm a \varnothing 73 mm s řezným časem hrubování ojnicové hlavy.

Vyvrtávání otvoru v ojničním oku na Ø 120 mm a druhé hrubování ojniční hlavy bude probíhat současně. Řezné podmínky a délka obrábění jsou přibližně stejné. Z toho plyne, že i obráběcí časy budou téměř shodné.

4.3. Vrtání na čisto

Při použití nové technologie dojde ke zlepšení obrábění načisto.

Toto zlepšení spočívá v tom, že po rozříznutí ojniční hlavy, opracování dosedacích ploch a opětovném smontování, má ojniční hlava téměř kruhový tvar. Z toho plyne, že se zlepší řezné podmínky, než byly u předchozí technologie. U předchozí technologie byla velmi neplynulá odebíraná tříška (čočkovitý tvar), a tím docházelo ke chvění, což mělo vliv na konečnou jakost obrábění.

Při této technologii se může také zvýšit přídavek na hrubování, a tím se sníží přídavek při vyvrtávání načisto. Z toho lze předpokládat, že dojde ke zvýšení řezné rychlosti při obrábění načisto.

5. VÝPOČTY

5.1. Návrh elektromotoru

Elektromotor navrhнемe z řezných podmínek /kroutící moment, řezná síla, výkon/.

Koefficienty dle literatury /1/.

Seznam vzorců:

$$M_k = c \cdot (D - d)^{1+x} \cdot s^y \quad (1) - \text{kroutící moment}$$

$$F_z = \frac{2 \cdot M_k}{D} \quad (2) - \text{řezná síla na 1 nůž}$$

$$F_x = c_x \cdot D^x \cdot s^y \quad (3) - \text{osová síla}$$

$$P = M_k \cdot 2 \cdot \pi \cdot \frac{n}{60} \quad (4) - \text{výkon}$$

$$F_z = k_s \cdot h^x \cdot s^y \quad (5) - \text{řezná síla na 1 nůž}$$

$$M_k = F_z \cdot \frac{D + d}{2} \quad (6) - \text{kroutící moment}$$

$$F_x = 0,8 F_z \quad (7) - \text{osová síla}$$

5.1.1. Výkon a řezné síly při vrtání Ø 30 mm /ojnice 27,5B8/

Výpočet proveden dle vzorců (1, 2, 3, 4).

mat. 15 260 . 3

- $\sigma_{Pt} = 700 \text{ MPa}$

- $s = 0,2 \text{ mm}$

- $n = 200 \text{ min}^{-1}$

- $v = 19 \text{ m/min}$

- $D = 30 \text{ mm}$

$$M_k = 310 \cdot 30^{1+0,9} \cdot 0,2^{0,8} = 54,8 \text{ Nm}$$

$$F_z = \frac{2 \cdot 54,8}{0,03} = 4007 \text{ N}$$

$$F_x = 780 \cdot 30^1 \cdot 0,2^{0,7} = 7585 \text{ N}$$

$$P = 54,8 \cdot 2 \cdot 3,14 \cdot \frac{200}{60} = 1,15 \text{ kW}$$

5.1.2. Výkony a řezné síly při vrtání $\varnothing 73 \text{ mm}$

Výpočet proveden dle vzorců (1, 2, 3, 4).

mat. 15 260.3

- s = 0,5 mm
- n = 65 min^{-1}
- v = 15 m/min
- D = 73 mm
- d = 30 mm

$$M_k = 310 \cdot (73 - 30)^{1+0,9} \cdot 0,5^{0,8} = 226 \text{ Nm}$$

$$F_z = \frac{2.226}{0,073} = 6795 \text{ N}$$

$$F_x = 730 \cdot (73 - 30)^1 \cdot 0,5^{0,7} = 20646 \text{ N}$$

$$P = 226 \cdot 2 \cdot 3,14 \cdot \frac{65}{60} = 1,54 \text{ kW}$$

5.1.3. Výkony a řezné síly při vrtání $\varnothing 120 \text{ mm}$

Výpočet proveden dle vzorců (4, 5, 6, 7).

mat. 15 260.3

- s = 0,2 mm
- n = 50 min^{-1}
- v = 12 - 20 m/min
- D = 120 mm
- d = 73 mm

$$F_z = 220 \cdot 11,75^1 \cdot 0,2^{0,78} = 7367 \text{ N}$$

$$M_k = 7367 \cdot \left(\frac{120 + 73}{2} \right) \cdot 10^{-3} = 710,9 \text{ Nm}$$

$$F_x = 20,8 \cdot 7367 = 11787 \text{ N}$$

$$P = 710,9 \cdot 2 \cdot 3,14 \cdot \frac{50}{60} = 3,74 \text{ kW}$$

5.1.4. Výkon a řezné síly při vrtání Ø 122 mm /ojnice 275 III/

Výpočet proveden dle vzorců (4, 5, 6, 7).

mat. 14 33.3

- $\sigma_{Pt} = 750 \text{ MPa}$

- $s = 0,2 \text{ mm}$

- $n = 50 \text{ min}^{-1}$

- $v = 12 - 20 \text{ m/min}$

- $D = 122 \text{ mm}$

- $d = 90 \text{ mm}$

$$F_z = 2200 \cdot 8^1 \cdot 0,2^{0,78} = 5016 \text{ N}$$

$$M_k = 5016 \cdot \left(\frac{122 + 90}{2} \right) \cdot 10^{-3} = 532 \text{ Nm}$$

$$F_x = 2 \cdot 0,8 \cdot 5016 = 8026$$

$$P = 532 \cdot 2 \cdot 3,14 \cdot \frac{50}{60} = 2,79 \text{ kW}$$

Poznámka: Pro návrh výkonu motoru se nepočítá s výkony od posuvových kol, které jsou velmi malé.

5.1.5. Návrh motoru

Motor navržen dle maximálního výkonu, který vyšel v bodě . a dle literatury /4/.

Trojfázový asynchronní motor s kotvou na krátko, zavřený.

Typ: F 160 M 08

Parametry: $P = 5,5 \text{ kW}$; $n = 715 \text{ min}^{-1}$; $M_N = 74 \text{ Nm}$; $\eta = 85\%$

5.2. Návrh převodů

5.2.1. Převody otáčkové

Ideální převody:

$$i_I = \frac{n}{n_1} = \frac{715}{200} = 3,575$$

$$i_{II} = \frac{n}{n_2} = \frac{715}{65} = 11$$

$$i_{III} = \frac{n}{n_3} = \frac{715}{50} = 14,30$$

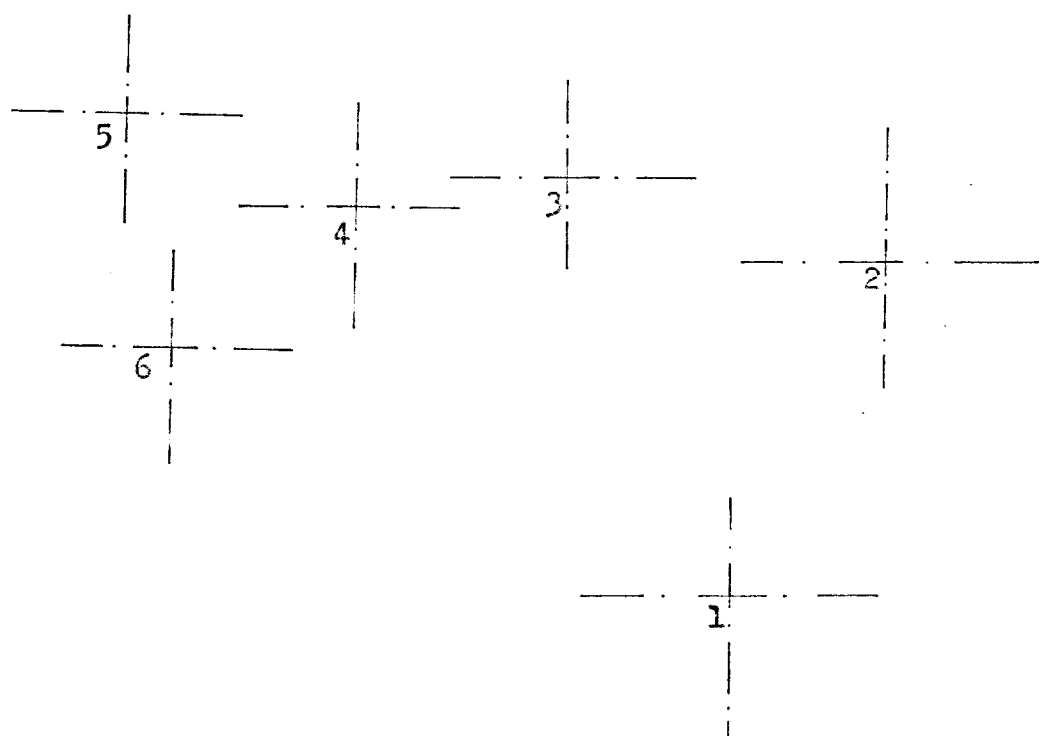
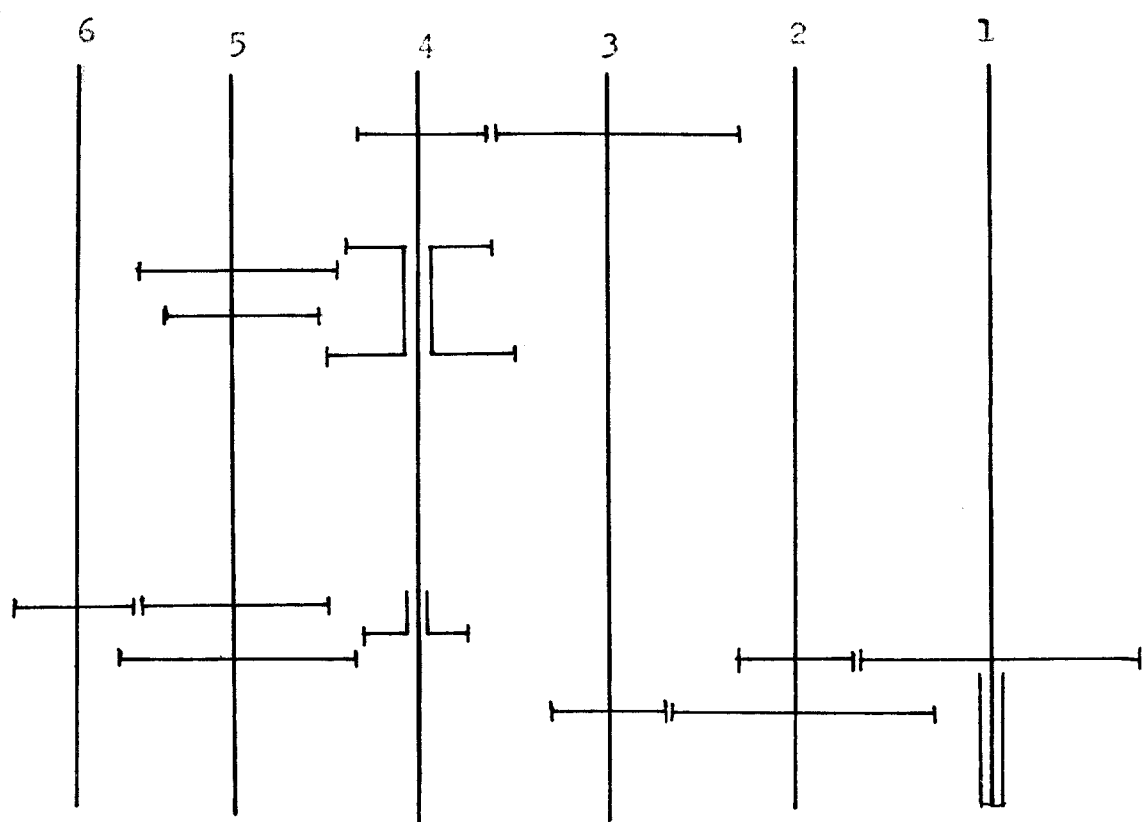
n - otáčky elektromotoru (715 min^{-1})

Volba kol (dle obrázku 1).

Tabulka T.1

i	HŘÍDEL	MODUL	KOLA	PŘEVOD
1	1 - 2	4	$\frac{40}{20}$	2
2	2 - 3	4	$\frac{30}{20}$	1,5
3	3 - 4	3	$\frac{40}{20}$	2
4	4 - 5	2,5	$\frac{37}{23}$	1,6067
5	4 - 5	2,5	$\frac{33}{27}$	1,2222
6	4 - 5	2,5	$\frac{17}{43}$	0,3954
7	5 - 6	2	$\frac{54}{36}$	1,5

Obrázek č. 1 - Rozložení kol a hřídelí u otáčkových kol



Zvolené převody a otáčky

$$i_I = i_1 \cdot i_2 \cdot i_3 \cdot i_6 \cdot i_7 = 2 \cdot 1,5 \cdot 2 \cdot 0,3954 \cdot 1,5 = 3,56$$

$$i_{II} = i_1 \cdot i_2 \cdot i_3 \cdot i_5 \cdot i_7 = 2 \cdot 1,5 \cdot 2 \cdot 1,222 \cdot 1,5 = 11,00$$

$$i_{III} = i_1 \cdot i_2 \cdot i_3 \cdot i_4 \cdot i_7 = 2 \cdot 1,5 \cdot 2 \cdot 1,6067 \cdot 1,5 = 14,48$$

$$n'_1 = \frac{n}{i_I} = \frac{715}{3,56} = 200,85 \text{ min}^{-1}$$

$$n'_2 = \frac{n}{i_{II}} = \frac{715}{11} = 65,00 \text{ min}^{-1}$$

$$n'_3 = \frac{n}{i_{III}} = \frac{715}{14,48} = 49,38 \text{ min}^{-1}$$

5.2.2. Převody posuvové

Ideální převody:

$$i'_{IV} = \frac{\pi \cdot d}{s_1} = \frac{3,14 \cdot 68}{0,2} = 1068,1$$

$$i'_{V} = \frac{\pi \cdot d}{s_2} = \frac{3,14 \cdot 68}{0,5} = 427,26$$

Rychloposuv a reverzace; zařazeny při n'_1 ($200,85 \text{ min}^{-1}$).

$$i'_r = 21$$

Volba kol (dle obrázku 2)

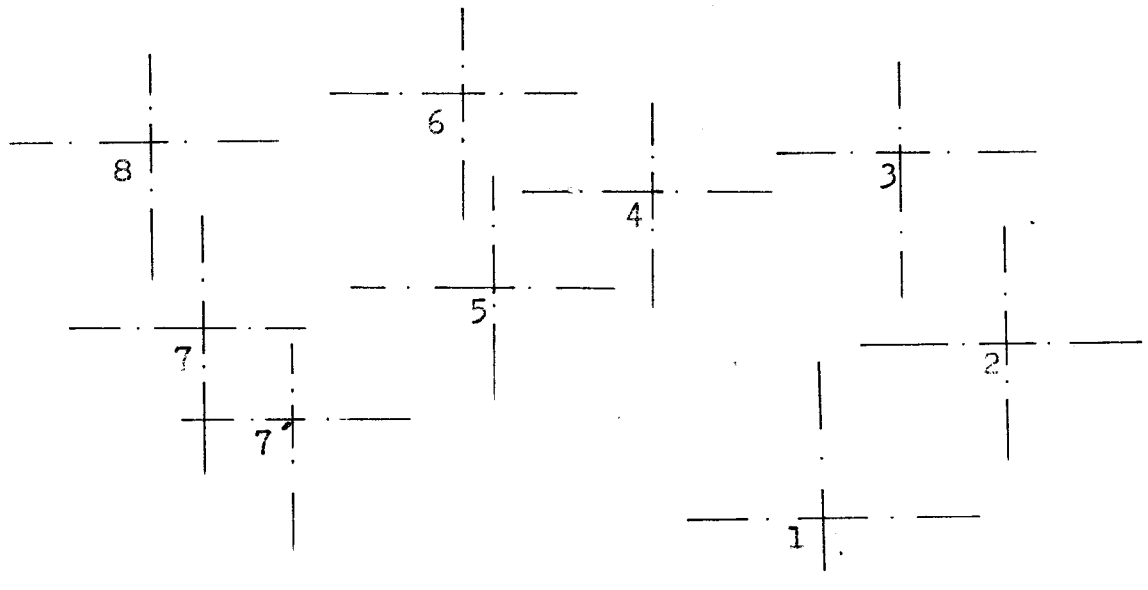
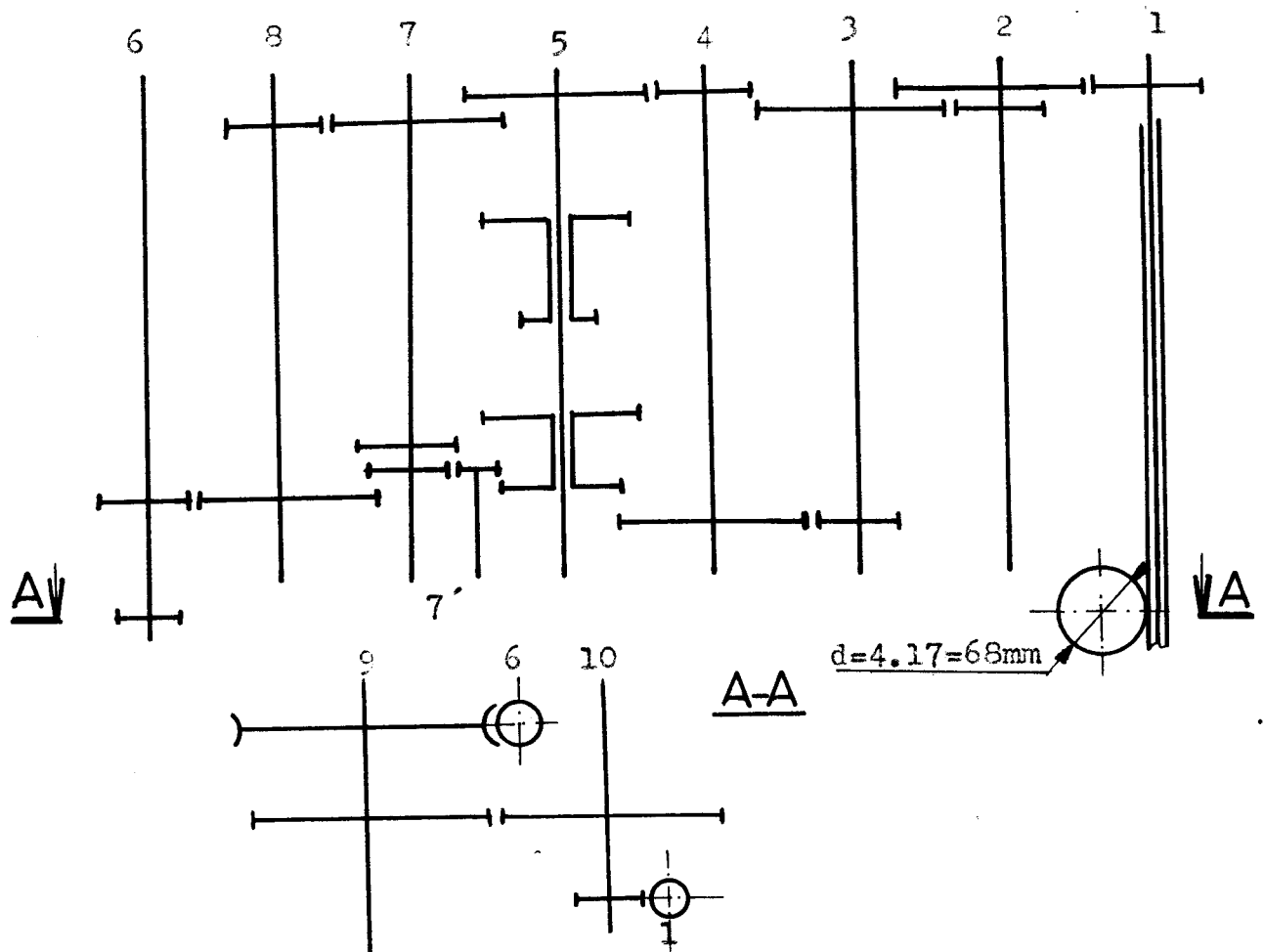
Tabulka T.2

i	HŘÍDEL	MODUL	KOLA	PŘEVOD
8	1 - 2	2	$\frac{56}{31}$	1,8065
9	2 - 3	2	$\frac{55}{22}$	2,5

Pokračování T.2

i	HŘÍDEL	MODUL	KOLA	PŘEVOD
10	3 - 4	2	$\frac{55}{22}$	2,5
11	4 - 5	2	$\frac{57}{19}$	3
12	5 - 6	3	$\frac{30}{19}$	1,5790
13	5 - 6	3	$\frac{19}{30}$	0,6333
14	5 - 7	2	$\frac{18}{57}$	0,3156
15	5 - 7	2	$\frac{17}{54}$	- 0,3148
16	7 - 8	2	$\frac{16}{56}$	0,2963
17	8 - 6	2	$\frac{18}{54}$	0,3333
18	6 - 9	4	$\frac{40}{2}$	20
19	9 - 10	4	$\frac{33}{33}$	1

Obrázek č. 2 - Rozložení kol a hřídelů u posuvových kol



M_K - maximální kroutící moment na hřídeli

$$d = \sqrt[3]{\frac{16 \cdot M_K}{\pi \cdot \zeta_{DK}}} \quad - \text{předběžný návrh průměru hřídele z } M_K$$

ζ_{DK} - dovolené napětí v krutu

n - otáčky při maximálním kroutícím momentu

Veškeré hodnoty v tabulkách jsou vypočteny pro nástroj, který není ještě otupený. Pro otupený nástroj by M_K vzrůstal, a tím by vzrůstal i předběžný průměr d.

Tabulka T.3

HŘÍDEL	M_{Kmax} /Nm/	\varnothing d /mm/	ζ_{DK} /MPa/	n /min ⁻¹ /
1	711	34,9	85	49,4
2	355,5	27,7	85	98,8
3	237	24,2	85	148,2
4	118,5	18,8	90	296,4
5	73,6	17,9	65	476,8
6	49	15,7	65	715,0

Tabulka T. 4

HŘÍDEL	$M_{K\max}$ /Nm/	$\phi \text{ a}$ /mm/	$\tilde{\tau}_{DK}$ /MPa/	n /min ⁻¹ /
1	1,63	4,6	85	65,0
2	3	6,2	65	36,0
3	7,4	8,2	65	14,4
4	18,5	11,3	65	5,8
5	55,5	16,3	65	1,9
6	35,1	14,0	65	3,0
7	11,5	9,7	65	13,7
8	3,4	6,4	65	63,1
9	702	34,2	90	0,152
10	702	34,2	90	0,152

Zvolené převody

$$i_{IV} = i_8 \cdot i_9 \cdot i_{10} \cdot i_{11} \cdot i_{12} \cdot i_{18} \cdot i_{19} = 1,8065 \cdot 2,5 \cdot 2,5 \cdot 3 \cdot \\ \cdot 1,579 \cdot 20 \cdot 1 = 1069,66$$

$$i_V = \frac{i_{IV}}{i_{12}} \cdot i_{13} = \frac{1069,66}{1,579} \cdot 0,6333 = 429,01$$

$$i_r = i_8 \cdot i_9 \cdot i_{10} \cdot i_{11} \cdot i_{14} \cdot i_{16} \cdot i_{17} \cdot i_{18} \cdot i_{19} = 1,8065 \cdot 2,5 \cdot 2,5 \cdot \\ \cdot 3 \cdot 0,3158 \cdot 0,2963 \cdot 0,3333 \cdot 20 \cdot 1 = 21,13$$

reverzace

$$i'_r = \frac{i_r}{i_{14}} \cdot i_{15} = \frac{21,13}{0,3158} \cdot (-0,3148) = -21,06$$

5.3. Kontrola navržených kol

Veškerá ozubená kola ve vrtačce jsou broušená, čímž je zaručena dobrá zabilatelnost. Veškeré ozubení mazána tukem A 4 ČSN 656946 /AV 2 ČSN 65 6946/. Toto mazání tukem si můžeme dovolit, protože kola mají malé otáčky a dobrou zabilatelnost.

Kola, která jsou určena pro řazení mají zuby přímé s úhlem záběru. Kola určená pouze pro přenos kroutícího momentu mají zuby šikmé s úhlem záběru $\alpha = 20^\circ$ a s úhlem sklonu zubů $\beta = 15^\circ$. Pouze zuby, kde je prováděný výpočet na osovou vzdálenost, mají úhel dle výpočtu (hřídel 9-10). Tyto šikmé zuby jsou především proto, aby byla zaručena menší hlučnost celého stroje. Veškerá soukoli jsou kontrolovaná na kontaktní napětí a tlaky.

5.3.1. Kontrola ozubených kol na dotyk

Význam jednotlivých označení:

$\sigma_{H\lim}$ - časovaná kontaktní pevnost pro $N_{1\lim} = 5 \cdot 10^7$ cyklů,

σ_H - srovnávací napětí v dotyku (srovnávací kontaktní napětí) ve valivém bodě ozubeného soukoli,

Z_L - součinitel maziva, který sleduje vliv druhu maziva a jeho viskozity,

Z_v - součinitel obvodové rychlosti,

Z_R - součinitel drsnosti boků zubů,

Z_X - součinitel velikosti (klade se $Z_X = 1$),

d - průměr roztečné kružnice pastorku,

$u = Z_2/Z_1$ - převodové číslo,

Z_M - součinitel materiálu,

Z_H - součinitel tvaru zubů pro běžné ozubení a nástroj se základním profilem podle ČSN 01 4607,

Z_ξ - součinitel součtové délky stykových čar zubů podle vzorců (11) pro přímé zuby a (12) nebo (13) pro šikmé zuby,

K_H - součinitel přídavných zatížení,

K_I - provozní součinitel; obdobně jako při výpočtu na ohyb,

K_V - součinitel vnitřních dynamických sil; obdobně jako při výpočtu na ohyb,

$K_{H\beta}$ - součinitel nerovnoměrnosti zatížení zubů podél stykových čar,

$K_{H\alpha}$ - součinitel podílu zatížení jednotlivých zubů,

$s_{H\min}$ - minimální součinitel bezpečnosti proti tvorbě pittingu,

Seznam použitých vzorců:

$$s_H = \frac{\sigma_{H\lim} \cdot Z_L \cdot Z_v \cdot Z_R \cdot Z_X}{\sigma_H} \quad (8)$$

$$\sigma_H = \sqrt{\frac{F_t}{b_w \cdot d_1} \cdot \frac{(u + 1)}{u} \cdot K_H} \quad Z_M \cdot Z_H \cdot Z_\epsilon \quad (9)$$

$$K_H = K_I K_V K_{H_R} K_{H_A} \quad (10)$$

Součinitel součtové délky stykových čar boků zubů Z_E podle ČSN 01 4686.

Pro přímé zuby:

$$Z_\epsilon = \sqrt{\frac{4 - \epsilon_\alpha}{3}} \quad (11)$$

Pro šikmé zuby:

a) $V + W = 1,0$

$$Z_\epsilon = \sqrt{\frac{\epsilon_B}{\epsilon_\alpha + \epsilon_B - V \cdot W}} \quad (12)$$

b) $V + W < 1,0$

$$Z_\epsilon = \sqrt{\frac{\epsilon_B}{\epsilon_\alpha + \epsilon_B - (1-V)(1-W)}} \quad (13)$$

V - čas číselné hodnoty součinitele záběru ϵ_α za des.čárkou

W - čas číselné hodnoty součinitele záběru ϵ_B za des.čárkou

Veškeré koeficienty, které nelze vypočítat jsou nalezeny dle literatury /3/.

Veškeré momenty jsou počítány z M_k v tab. T.3 a T.4 a převodových čísel v tabulce T.1 a T.2.

5.3.1.1. Otáčková kola (dle obrázku č. 1 tabulky T.1)

σ_H - dle vzorců (9, 10, 11 nebo 12 nebo 13, 17);

s_H - dle vzorce (10)

Některé koeficienty jsou obsaženy v následující kapitole

Hřídele 1 - 2

$$M_2 = 355,5 \text{ Nm}$$

$$i = 2$$

$$M_1 = 711 \text{ Nm}$$

$$\begin{array}{lll}
 z_2 = 20 & b = 60 \text{ mm} & z_1 = 40 \\
 d_2 = 82,2 \text{ mm} & m = 4 \text{ mm} & d_1 = 165,4 \text{ mm} \\
 \text{mat. 15 241.4} & & \text{mat. 15 241.6} \\
 \sigma_H = \sqrt{\frac{8693,5 \cdot (2+1)}{60 \cdot 82,82 \cdot 2}} \cdot 268,5 \cdot 1,71 \cdot 0,67 = 699,6 \text{ MPa} \\
 s_{H2} = \frac{1280}{699,6} \cdot 1,03 \cdot 0,95 \cdot 0,98 \cdot 1 = 1,77 & s_{H1} = \frac{816}{699,6} \cdot 1,06 \cdot 0,91 \cdot 0,98 \cdot 1 = 1,1
 \end{array}$$

Obě kola vyhovují

Hřídele 2 - 3

$$\begin{array}{lll}
 M_3 = 237 \text{ Nm} & i = 1,5 & M_2 = 355,5 \text{ Nm} \\
 z_3 = 20 & b = 50 \text{ mm} & z_2 = 30 \\
 d_3 = 82,82 \text{ mm} & m = 4 \text{ mm} & d_2 = 124,23 \text{ mm} \\
 \text{mat. 14 140.4} & & \text{mat. 14 140.6} \\
 \sigma_H = \sqrt{\frac{5723,5 \cdot (1,5+1)}{50 \cdot 82,82 \cdot 1,5}} \cdot 2,16 \cdot 268,5 \cdot 1,71 \cdot 0,69 = 655 \text{ MPa} \\
 s_{H3} = \frac{1240}{655} \cdot 1,03 \cdot 0,96 \cdot 0,96 \cdot 1 = 1,80 & s_{H2} = \frac{792}{655} \cdot 1,06 \cdot 1,92 \cdot 0,96 \cdot 1 = 1,13
 \end{array}$$

Obě kola vyhovují

Hřídele 3 - 4

$$\begin{array}{lll}
 M_4 = 118,5 \text{ Nm} & i = 2 & M_3 = 237 \text{ Nm} \\
 z_4 = 20 & b = 45 \text{ mm} & z_3 = 40 \\
 d_4 = 62,12 \text{ mm} & m = 3 \text{ mm} & d_3 = 124,23 \text{ mm} \\
 \text{mat. 11 700.4} & & \text{mat. 14 140.6} \\
 \sigma_H = \sqrt{\frac{3696,2 \cdot (2+1)}{45 \cdot 62,12 \cdot 2}} \cdot 2,19 \cdot 268,5 \cdot 1,71 \cdot 0,73 = 698,5 \text{ MPa}
 \end{array}$$

$$s_{H4} = \frac{1220}{698,5} \cdot 1,03 \cdot 0,95 \cdot 0,96 \cdot 1 = 1,64$$

$$s_{H3} = \frac{792}{698,5} \cdot 1,07 \cdot 0,94 \cdot 0,96 \cdot 1 = 1,10$$

Obě kola vyhovují

Hřídele 4 - 5

$$M_5 = 73,6 \text{ Nm} \quad i = 1,6067 \quad M_4 = 118,5 \text{ Nm}$$

$$z_5 = 23 \quad b = 30 \text{ mm} \quad z_4 = 37$$

$$d_5 = 57,5 \text{ mm} \quad m = 2,5 \text{ mm} \quad d_4 = 92,5 \text{ mm}$$

$$\text{mat. } 12 020.9 \quad \text{mat. } 15 241.4$$

$$\sigma_H = \sqrt{\frac{2569 \cdot (1,6067 + 1)}{30 \cdot 57,5 \cdot 1,6067} \cdot 2,12 \cdot 268,5 \cdot 1,71 \cdot 0,89} = 924,8 \text{ MPa}$$

$$s_{H5} = \frac{1320}{924,8} \cdot 1 \cdot 0,95 \cdot 1,02 \cdot 1 = 1,38 \quad s_{H4} = \frac{1280}{924,8} \cdot 1 \cdot 0,95 \cdot 1,02 \cdot 1 = 1,34$$

Obě kola vyhovují

$$M_5 = 38,82 \text{ Nm} \quad i = 1,22 \quad M_4 = 41,33 \text{ Nm}$$

$$z_5 = 27 \quad b = 30 \text{ mm} \quad z_4 = 33$$

$$d_5 = 67,5 \text{ mm} \quad m = 2,5 \text{ mm} \quad d_4 = 82,5 \text{ mm}$$

$$\text{mat. } 11 600.4 \quad \text{mat. } 14 140.6$$

$$\sigma_H = \sqrt{\frac{1150 \cdot (1,22 + 1)}{30 \cdot 67,5 \cdot 1,222} \cdot 2,15 \cdot 268,5 \cdot 1,71 \cdot 0,88} = 623,1 \text{ MPa}$$

$$s_{H5} = \frac{1200}{623,1} \cdot 1 \cdot 0,95 \cdot 0,98 \cdot 1 = 1,79 \quad s_{H4} = \frac{792}{623,1} \cdot 1 \cdot 0,9 \cdot 0,97 \cdot 1 = 1,11$$

Obě kola vyhovují

$$M_4 = 10 \text{ Nm} \quad i = 2,5294 \quad M_5 = 25,3 \text{ Nm}$$

$$z_4 = 17 \quad b = 20 \text{ mm} \quad z_5 = 43$$

$$d_4 = 42,5 \text{ mm} \quad m = 2,5 \text{ mm} \quad d_5 = 107,5 \text{ mm}$$

mat. II 600.4

$$\sigma_H = \sqrt{\frac{470,6 \cdot (2,53 + 1)}{20 \cdot 42,5 \cdot 2,53} \cdot 2,21 \cdot 268,5 \cdot 1,71 \cdot 0,89} = 533,9 \text{ MPa}$$

$$s_{H4} = \frac{1200}{533,9} \cdot 1,02 \cdot 0,95 \cdot 0,96 \cdot 1 = 2,09$$

$$s_{H5} = \frac{672}{533,9} \cdot 1,05 \cdot 0,9 \cdot 0,93 \cdot 1 = 1,11$$

Obě kola vyhovují

Hřídele 5-6

$$M_6 = 49 \text{ Nm} \quad i = 1,5 \quad M_5 = 73,6 \text{ Nm}$$

$$z_6 = 28 \quad b = 25 \text{ mm} \quad z_5 = 42$$

$$d_6 = 57,98 \text{ mm} \quad m = 2 \text{ mm} \quad d_5 = 86,96 \text{ mm}$$

mat. II 020.9

$$\sigma_H = \sqrt{\frac{1690,2 \cdot (1,5 + 1)}{25 \cdot 57,98 \cdot 1,5} \cdot 2,05 \cdot 268,5 \cdot 1,71 \cdot 0,84} = 769,8 \text{ MPa}$$

$$s_{H6} = \frac{1320}{769,8} \cdot 1 \cdot 0,96 \cdot 0,96 \cdot 1 = 1,65$$

$$s_{H5} = \frac{1200}{769,8} \cdot 1 \cdot 0,94 \cdot 0,94 \cdot 1 = 1,47$$

Obě kola vyhovují

5:3;1:2:... Posuvová kola (dle obrázku č. 2 a tabulky T. 2).

Kola na hřídelích 1-2, 2-3, 6-8, 7-8 nekontrolujeme, protože jsou malé kroutící momenty. U všech kol $b = 12 \text{ mm}$, materiál pastorků II 600.4 a materiál kola II 500.1.

Hřídele 3-4

$$M_3 = 7,4 \text{ Nm} \quad i = 2,5 \quad M_4 = 18,5 \text{ Nm}$$

$$\begin{array}{lll}
 z_3 = 18 & i = 2,5 & M_4 = 18,5 \text{ Nm} \\
 z_3 = 18 & b = 15 \text{ mm} & z_4 = 45 \\
 d_3 = 37,27 \text{ mm} & m = 2 \text{ mm} & d_4 = 93,18 \text{ mm} \\
 \text{mat. 11 600.4} & & \text{mat. 13 240.6}
 \end{array}$$

$$\begin{aligned}
 \sigma_H &= \sqrt{\frac{502,9 \cdot (2,5 + 1) \cdot 1,73}{15 \cdot 37,27 \cdot 2,5} \cdot 268,5 \cdot 1,71 \cdot 0,8} = 542,2 \text{ MPa} \\
 s_{H3} &= \frac{1200}{542,2} \cdot 1 \cdot 0,95 \cdot 0,98 \cdot 1 = 2,09 \\
 s_{H4} &= \frac{732}{469,5} \cdot 1 \cdot 0,9 \cdot 0,96 \cdot 1 = 1,17
 \end{aligned}$$

Obě kola vyhovují

Hřídele 4 - 5

$$\begin{array}{lll}
 M_4 = 18,5 \text{ Nm} & i = 3 & M_5 = 55,5 \text{ Nm} \\
 z_4 = 19 & b = 20 \text{ mm} & z_5 = 57 \\
 d_4 = 39,34 \text{ mm} & m = 2 \text{ mm} & d_5 = 118,02 \text{ mm} \\
 \text{mat. 11 600.4} & & \text{mat. 14 140.6}
 \end{array}$$

$$\begin{aligned}
 \sigma_H &= \sqrt{\frac{1191,2 \cdot (3 + 1) \cdot 1,71}{20 \cdot 39,34 \cdot 3} \cdot 268,5 \cdot 1,71 \cdot 0,79} = 673,9 \text{ MPa} \\
 s_{H4} &= \frac{1200}{673,9} \cdot 1,02 \cdot 0,95 \cdot 0,98 \cdot 1 = 1,69 \\
 s_{H5} &= \frac{792}{673,9} \cdot 1,05 \cdot 0,92 \cdot 0,98 \cdot 1 = 1,11
 \end{aligned}$$

Obě kola vyhovují

Hřídele 5 - 6

$$\begin{array}{lll}
 M_5 = 11,7 \text{ Nm} & i = 1,579 & M_6 = 18,5 \text{ Nm} \\
 z_5 = 19 & b = 20 \text{ mm} & z_6 = 30 \\
 d_5 = 57 \text{ mm} & m = 3 \text{ mm} & d_6 = 90 \text{ mm} \\
 \text{mat. 11 600.4} & & \text{mat. 11 500.1}
 \end{array}$$

$$\sigma_H = \sqrt{\frac{522,8 \cdot (1,579 + 1) \cdot 1,84}{20 \cdot 57 \cdot 1,579}} \cdot 268,5 \cdot 1,77 \cdot 0,89 = 496,6 \text{ MPa}$$

$$s_{H5} = \frac{1200}{596,6} \cdot 1,05 \cdot 0,95 \cdot s_{H6} = \frac{576}{496,6} \cdot 1,05 \cdot 0,95 \cdot \\ \cdot 1 \cdot 1 = 2,41 \quad \cdot 1 \cdot 1 = 1,16$$

Obě kola vyhovují

$$M_6 = 35,1 \text{ Nm}$$

$$i = 1,579$$

$$M_5 = 55,5 \text{ Nm}$$

$$z_6 = 19$$

$$b = 25 \text{ mm}$$

$$z_5 = 30$$

$$d_6 = 57 \text{ mm}$$

$$m = 3 \text{ mm}$$

$$d_5 = 90 \text{ mm}$$

$$\text{mat. } 12 \ 010.9$$

$$\text{mat. } 11 \ 600.4$$

$$\sigma_H = \sqrt{\frac{1561,4 \cdot (1,579 + 1) \cdot 1,84}{25 \cdot 57 \cdot 1,579}} \cdot 268,5 \cdot 1,77 \cdot 0,89 = 767,5 \text{ MPa}$$

$$s_{H6} = \frac{1300}{767,5} \cdot 1,05 \cdot 0,95 \cdot s_{H5} = \frac{1200}{767,5} \cdot 1,05 \cdot 0,95 \cdot \\ \cdot 1 \cdot 1 = 1,69 \quad \cdot 1 \cdot 1 = 1,56$$

Obě kola vyhovují

Hřídele 5 - 7

$$M_7 = 11,5 \text{ Nm}$$

$$i = 3,167$$

$$M_5 = 36,5$$

$$z_7 = 18$$

$$b = 15 \text{ mm}$$

$$z_5 = 57$$

$$d_7 = 36 \text{ mm}$$

$$m = 2 \text{ mm}$$

$$d_5 = 114 \text{ mm}$$

$$\text{mat. } 11 \ 600.4$$

$$\text{mat. } 15 \ 241.6$$

$$\sigma_H = \sqrt{\frac{638,9 \cdot (3,167 + 1) \cdot 1,73}{15 \cdot 36 \cdot 3,167}} \cdot 268,5 \cdot 1,71 \cdot 0,88 = 663,1 \text{ MPa}$$

$$s_{H7} = \frac{1200}{663,1} \cdot 1,02 \cdot 0,96 \cdot s_{H5} = \frac{792}{663,1} \cdot 1,05 \cdot 0,92 \cdot \\ \cdot 0,98 \cdot 1 = 1,74 \quad \cdot 0,96 \cdot 1 = 1,11$$

Obě kola vyhovují

Vložené kolo (reverzace)

výpočty stejné jako u hřídele 5 - 7 bez složeného kola

$$Z_v = 22 \quad m = 2 \text{ mm} \quad d = 48 \text{ mm}$$

$$\text{met. } 11\ 600,4$$

VLOŽENÉ KOLO VYHOUVUJE.

Hřídele 9 - 10

Jelikož $i = 1$, budeme kontrolovat pouze jedno kolo, protože jsou stejné.

$$M_g = 702 \text{ Nm} \quad i = 1 \quad b = 45 \text{ mm}$$

$$Z_g = 33 \quad m = 4 \text{ mm} \quad \text{met. } 15\ 241,6$$

$$d_g = 133,4 \text{ mm} \quad \approx 8^\circ 35' \quad a = 133,4 \text{ mm}$$

$$\sigma_H = \sqrt{\frac{10516,9 \cdot (1+1) \cdot 1,68}{45 \cdot 133,4 \cdot 1}} \cdot 268,5 \cdot 1,75 \cdot 0,78 = 662,5 \text{ MPa}$$

$$s_{H9} = \frac{816}{662,5} \cdot 1,02 \cdot 1,95 \cdot 0,98 \cdot 1 = 1,17$$

5.3.2. Kontrola ozubených kol na ohyb

význam jednotlivých označení:

σ_{Flim} - časová pevnost v ohybu pro dohodnutý počet cyklů

$$N_{lim} = 5 \cdot 10^7,$$

σ_F - srovnávací ohybové napětí v patě zuba,

y_S - součinitel vrubu v oblasti patní přechodové křivky,

y_R - součinitel drsnosti v oblasti patní přechodové křivky,

y_x - součinitel velikosti podle vzorce,

F_t - jmenovitá obvodová síla vypočtená z jmenovitého výkonu na roztečné kružnici v čelném řezu,

b - pracovní (aktivní) společná šířka zubů soukoli,

- m - normálny modul ozubení,
 Y_p - součinitel tvaru zuba,
 Y_ϵ - součinitel vlivu záběru profilu podle vzorce (19),
 Y_β - součinitel sklonu zuba podle vzorce (20) nebo (21),
 K_F - součinitel přídavných zatižení,
 K_I - provozní součinitel; zahrnuje přídavné dynamické síly, které vznikají mimo převod,
 K_v - součinitel vnitřních dynamických sil,
 K_{Fa} - součinitel podílu zatižení jednotlivých zubů,
 s_{Fmin} - minimální součinitel bezpečnosti.

Seznam vzorců:

Součinitel bezpečnosti proti porušení zuba únavovým lomem

$$s_F = \frac{\sigma_{Flim} \cdot Y_S Y_R Y_X}{\sigma_F} \quad (14)$$

$$\sigma_F = \frac{F_t}{b \cdot m} \cdot Y_p \cdot Y_\epsilon \cdot Y_\beta \cdot K_F \quad (15)$$

$$K_F = K_I K_v K_{Fa} K_\beta \quad (16)$$

$$F_t = \frac{2M_K}{d} \quad (17)$$

$$\mathcal{E}_\alpha = \left(1,88 - 3,2 \cdot \frac{1}{Z_1} + \frac{1}{Z_2} \right) \cos \beta \quad (18)$$

$$Y_\epsilon = 1/\mathcal{E}_\alpha \quad (19)$$

Pro úhly sklonu zuba na roztečném válci $\beta < 30^\circ$

$$Y_\beta = 1 - \mathcal{E}_\beta \frac{\beta}{120} \quad (20)$$

a pro úhly sklonu zuba na roztečném válci $\beta \geq 30^\circ$

$$Y_\beta = 1 - \mathcal{E}_\beta \frac{30}{120} \cdot \quad (21)$$

Veškeré koeficienty, které nelze vypočítat jsou nalezeny dle literatury /3/.

Veškeré momenty jsou počítány z M_k v tab. T.3, T.4 a převodových čísel v tab. II. a T.2.

5.3.2.1. Otáčková kola (dle obrázku č. 1, tabulky T.3)

σ_F - dle vzorců (15, 16, 17, 18, 19, 20 nebo 21)

s_F - dle vzorce (14)

Zadání a veškeré hodnoty koeficientů jsou stejné jako v předchozím bodě.

Hřídele 1 - 2

$$\sigma_{F2} = \frac{8693,5}{60 \cdot 4} \cdot 2,75 \cdot 0,62 \cdot 0,83 \cdot 2,12 = 108,7 \text{ MPa}$$
$$s_{F2} = \frac{135 \cdot 1,07 \cdot 1,12 \cdot 1}{108,7} = 1,49$$
$$\sigma_{F1} = \frac{8693,5}{60 \cdot 4} \cdot 2,4 \cdot 0,62 \cdot 0,83 \cdot 2,12 = 94,9 \text{ MPa}$$
$$s_{F1} = \frac{205 \cdot 1,04 \cdot 1 \cdot 1}{94,9} = 2,25$$

Obě kola vyhovují

Hřídele 2 - 3

$$\sigma_{F3} = \frac{5723,5}{50 \cdot 4} \cdot 2,8 \cdot 0,64 \cdot 0,87 \cdot 2,25 = 100,3 \text{ MPa}$$
$$s_{F3} = \frac{128 \cdot 1,07 \cdot 1,12 \cdot 1}{100,3} = 1,49$$
$$\sigma_{F2} = \frac{5723,5}{50 \cdot 4} \cdot 2,54 \cdot 0,64 \cdot 0,87 \cdot 2,25 = 91 \text{ MPa}$$
$$s_{F2} = \frac{195 \cdot 1,07 \cdot 1 \cdot 1}{91} = 2,29$$

Obě kola vyhovují

Hřídele 3 - 4

$$\sigma_{F4} = \frac{3696,2}{45 \cdot 3} \cdot 2,8 \cdot 0,63 \cdot 0,83 \cdot 2,3 = 92,2 \text{ MPa}$$

$$s_{F4} = \frac{110 \cdot 1,075 \cdot 1,12 \cdot 1}{92,2} = 1,44$$

$$\sigma_{F3} = \frac{3696,2}{45 \cdot 3} \cdot 2,4 \cdot 0,63 \cdot 0,83 \cdot 2,3 = 79 \text{ MPa}$$

$$s_{F3} = \frac{195 \cdot 1,04 \cdot 1 \cdot 1}{79} = 2,57$$

Obě kola vyhovují

Hřídele 4 - 5

$$z_5 = 23$$

$$\sigma_{F5} = \frac{2560}{30 \cdot 2,5} \cdot 2,95 \cdot 0,62 \cdot 1 \cdot 2,28 = 142,3 \text{ MPa}$$

$$s_{F5} = \frac{190 \cdot 1,05 \cdot 1,1 \cdot 1}{142,3} = 1,54$$

$$z_4 = 37$$

$$\sigma_{F4} = \frac{2560}{30 \cdot 2,5} \cdot 2,35 \cdot 0,62 \cdot 1 \cdot 2,28 = 113,1 \text{ MPa}$$

$$s_{F4} = \frac{135 \cdot 1,04 \cdot 1,09 \cdot 1}{113,1} = 1,37$$

Obě kola vyhovují

$$z_5 = 27$$

$$\sigma_{F5} = \frac{1150}{30 \cdot 2,5} \cdot 2,58 \cdot 0,6 \cdot 1 \cdot 2,22 = 52,7 \text{ MPa}$$

$$s_{F5} = \frac{100 \cdot 1,04 \cdot 1 \cdot 1}{52,7} = 1,97$$

$$z_4 = 33$$

$$\sigma_{F4} = \frac{1150}{30 \cdot 2,5} \cdot 2,48 \cdot 0,6 \cdot 1 \cdot 2,22 = 50,7 \text{ MPa}$$

$$s_{F4} = \frac{195 \cdot 1,05 \cdot 1 \cdot 1}{50,7} = 3,83$$

Obě kola vyhovují

$$z_4 = 17$$

$$\sigma_{F4} = \frac{470,6}{20 \cdot 2,5} \cdot 2,95 \cdot 0,62 \cdot 1 \cdot 2,29 = 40,1 \text{ MPa}$$

$$z_5 = 43$$

$$\sigma_{F5} = \frac{470,6}{20 \cdot 2,5} \cdot 2,4 \cdot 0,62 \cdot 1 \cdot 2,33 = 32,6 \text{ MPa}$$

$$s_{F4} = \frac{100 \cdot 1,08 \cdot 1,05 \cdot 1}{40,1} = 2,77$$

$$s_{F5} = \frac{165 \cdot 1 \cdot 1,01 \cdot 1}{32,6} = 5,11$$

Obě kola vyhovují

Hřídele 5 - 6

$$\sigma_{F6} = \frac{1690,2}{25 \cdot 2} \cdot 2,6 \cdot 0,6 \cdot 0,8 \cdot 1,99 = 83,9 \text{ MPa}$$

$$s_{F6} = \frac{190 \cdot 1,05 \cdot 1,1 \cdot 1}{83,9} = 2,62$$

$$\sigma_{F5} = \frac{1690,2}{25 \cdot 2} \cdot 2,4 \cdot 0,6 \cdot 0,8 \cdot 1,99 = 77,5 \text{ MPa}$$

$$s_{F5} = \frac{110 \cdot 1,02 \cdot 1,1 \cdot 1}{77,5} = 1,59$$

Obě kola vyhovují

5.3.2.2. Posuvová kola (dle obrázku č. 2 a tabulky T:4)

Kola na hřídelích 1 - 2, 2 - 3, 6 - 8, 7 - 8 nekontrolujeme, protože jsou malé kroutící momenty.

Hřídele 3 - 4

$$\sigma_{F3} = \frac{502,9}{15 \cdot 2} \cdot 2,9 \cdot 0,61 \cdot 0,73 \cdot 1,73 = 37,5 \text{ MPa}$$

$$s_{F3} = \frac{100 \cdot 1,07 \cdot 1,05 \cdot 1}{37,5} = 3,0$$

$$\sigma_{F4} = \frac{502,9}{15 \cdot 2} \cdot 2,4 \cdot 0,61 \cdot 0,73 \cdot 1,73 = 31 \text{ MPa}$$

$$s_{F4} = \frac{180 \cdot 1,02 \cdot 1,03 \cdot 1}{31} = 6,1$$

Obě kola vyhovují

Hřídele 4 - 5

$$\sigma_{F4} = \frac{1191,2}{20 \cdot 2} \cdot 2,84 \cdot 0,64 \cdot 0,74 \cdot 1,86 = 74,5 \text{ MPa}$$

$$\sigma_{F5} = \frac{1191,2}{20 \cdot 2} \cdot 2,57 \cdot 0,64 \cdot 0,74 \cdot 1,86 = 67,5 \text{ MPa}$$

$$s_{F4} = \frac{100 \cdot 1,08 \cdot 1,08 \cdot 1}{74,5} = 1,57$$

$$s_{F5} = \frac{180 \cdot 1,08 \cdot 1,04 \cdot 1}{67,5} = 3$$

Obě kola vyhovují

Hřídele 5 - 6

$$z_5 = 19 \quad z_6 = 30$$

$$\sigma_{F5} = \frac{522,8}{20 \cdot 3} \cdot 2,85 \cdot 0,62 \cdot 1 \cdot 2 = 30,8 \text{ MPa}$$

$$\sigma_{F6} = \frac{522,8}{20 \cdot 5} \cdot 2,55 \cdot 0,62 \cdot 1 \cdot 2 = 27,6 \text{ MPa}$$

$$s_{F5} = \frac{100 \cdot 1,06 \cdot 1,08 \cdot 1}{30,8} = 3,72$$

$$s_{F6} = \frac{135 \cdot 1,03 \cdot 1,08 \cdot 1}{27,6} = 5,44$$

Obě kola vyhovují

$$z_6 = 19 \quad z_5 = 30$$

$$\sigma_{F6} = \frac{1561,4}{25 \cdot 3} \cdot 2,55 \cdot 0,62 \cdot 1 \cdot 2 = 73,6 \text{ MPa}$$

$$\sigma_{F5} = \frac{1561,4}{25 \cdot 3} \cdot 2,55 \cdot 0,62 \cdot 1 \cdot 2 = 65,8 \text{ MPa}$$

$$s_{F6} = \frac{180 \cdot 1,06 \cdot 1,08 \cdot 1}{73,6} = 2,8$$

$$s_{F5} = \frac{100 \cdot 1,03 \cdot 1,08 \cdot 1}{65,8} = 1,69$$

Obě kola vyhovují

Hřídele 5 - 7

$$\sigma_{F7} = \frac{638,9}{15 \cdot 2} \cdot 2,9 \cdot 0,6 \cdot 1 \cdot 1,93 = 71,5 \text{ MPa}$$

$$\sigma_{F5} = \frac{638,9}{15 \cdot 2} \cdot 2,32 \cdot 0,6 \cdot 1 \cdot 1,93 = 57,3 \text{ MPa}$$

$$s_{F7} = \frac{100 \cdot 1,08 \cdot 1,06 \cdot 1}{71,5} = 1,6$$

$$s_{F5} = \frac{195 \cdot 0,97 \cdot 1,03 \cdot 1}{57,3} = 3,4$$

Obě kola vyhovují

Vložené kolo

Výpočty stejné jako u hřídele 5 - 7

Vložené kolo vyhovuje

Hřídele 9 - 10

Jelikož $i = 1$, budeme kontrolovat pouze jedno kolo, protože jsou stejná.

$$\sigma_{F9} = \frac{10\ 516,9}{45 \cdot 4} \cdot 1,45 \cdot 0,59 \cdot 0,77 \cdot 1,77 = 68,2 \text{ MPa}$$

$$s_{F9} = \frac{205 \cdot 1,05 \cdot 1,05 \cdot 1}{68,2} = 3,31$$

Obě kola vyhovují

5.3.2.3: Pevnostní výpočet šneků a šnekového kola

Výpočet proveden dle literatury /3/.

Šnek:

mat. 14 331.4

$z_1 = 2$

$m = 4 \text{ mm}$

$$d_1 = q + m = 10,4 = 40 \text{ mm}$$

$$\sin = \frac{z_1}{q} = \frac{2}{10} = 0,2$$

$$\gamma = 11^{\circ}32'$$

$$l_1 = (11 + 0,06 \cdot z_1) \cdot m = (11 + 0,06 \cdot 2) \cdot 4 = 44,5 \text{ mm}$$

Kolo:

mat. Cu Al10 Fe4 Ni3

$z_2 = 40$

$i = 20$

$$d_2 = \frac{m}{x} \cdot z_2 = \frac{4}{0,9798} \cdot 40 = 163,3 \text{ mm}$$

$$x = \cos \gamma = \cos 11^{\circ}32' = 0,9798$$

$$b_2 = 40 \text{ mm}$$

Dle vzorce (17) a tabulky T.4

$$F_{t2} = F_{A1} = \frac{2 \cdot 702}{0,1633} = 8597 \text{ N}$$

Vzhledem k tomu, že výpočet sil na šnekovém soukoli je dosti složitý, jsou uvedeny pouze vypočtené hodnoty dle literatury /3/.

$$F_{A2} = F_{T1} = 2857 \text{ N}$$

$$F_{rl} = F_{r2} = 3258 \text{ N}$$

Vzhledem k tomu, že více namáhané je šnekové kolo, bude se kontrola provádět pouze u tohoto kola.

Kontrola na otlačení

$$z_n = \frac{z_2}{x^3} = \frac{40}{0,9798^3} = 42,53$$

$$\varrho_h = \varrho_2 = \frac{d_2}{x^2} \cdot \sin \alpha = \frac{40}{0,9798^2} \cdot \sin 20^\circ = 14,25 \text{ mm}$$

$$b_n = \frac{b_2}{x} = \frac{40}{0,9798} = 40,83 \text{ mm}$$

$$F_N = \frac{F_t}{x \cdot \cos \alpha} = \frac{8597}{0,9798 \cdot \cos 20^\circ} = 9337,5 \text{ N}$$

K_H dle vzorce (10)

$$K_H = 1 \cdot 1 \cdot 0,74 \cdot 1 = 0,74$$

$$\sigma_H = \sqrt{\frac{K_H \cdot F_N}{b_n \cdot \pi \cdot \varrho_h \cdot \left(\frac{1-\mu_1^2}{E_1} + \frac{1-\mu_2^2}{E_2} \right)}} = \sqrt{\frac{0,74 \cdot 9337,5}{36,74 \cdot 3,14 \cdot 14,25}} \\ \cdot \left(\frac{1-0,3^2}{2,15 \cdot 10^5} + \frac{1-0,31^2}{1,1 \cdot 10^5} \right) = 584 \text{ MPa}$$

$$\sigma_{HC} = 0,6 E_m = 0,6 \cdot 650 = 390 \text{ MPa}$$

$$s_{II} = 1,2; N = 25 \cdot 10^7; N_E = 1,25 \cdot 10^6$$

$$\sigma_{HD} = \frac{\sigma_{HC}}{s_{II}} \cdot \sqrt[8]{\frac{N}{N_E}} = \frac{390}{1,2} \cdot \sqrt[8]{\frac{25 \cdot 10^7}{1,25 \cdot 10^6}} = 687,6 \text{ MPa}$$

$$\sigma_{HD} > \sigma_H \quad \text{Vyhovuje}$$

Kontrola na ohyb

$$Y_F = 1,55$$

$$Y_B = 1 - \frac{\chi}{140^\circ} = 1 - \frac{11^\circ 32'}{140^\circ} = 0,92$$

$$\sigma_F = \frac{K_{II \cdot F} + 2 \cdot Y_F \cdot Y_B}{v_2 \cdot m} = \frac{0,74 \cdot 8597 \cdot 1,55 \cdot 0,92}{40} = 56,7 \text{ MPa}$$

$$s_F = 1,6; N_E = 10^6; K = 1,3; \sigma_c = 260 \text{ MPa};$$

$$\sigma_{FD} = \frac{\sigma_c}{K \cdot s_F} \cdot \sqrt[9]{\frac{N}{N_E}} = \frac{260}{1,3 \cdot 1,6} \cdot \sqrt[9]{\frac{25 \cdot 10^7}{10^6}} = 205,2 \text{ MPa}$$

$$\sigma_{FD} > \sigma_F \quad \text{Vyhovuje}$$

5.4. Kontrola ložisek

Seznam vzorců:

$$\cos \alpha = x = \cos 20^\circ = 0,9397$$

$$\sin \beta = y = \sin 15^\circ = 0,2588$$

$$F_N = \frac{2 M_K}{z.m.x} - \text{síla zatěžující ložisko}$$

$$F_A = F_N \cdot x \cdot y - \text{axiální síla}$$

$$R_{xi} = \frac{F_N(i) \cdot L(i) + F_N(i-1) \cdot L(i-1)}{L} - \text{reakce v ložisku}$$

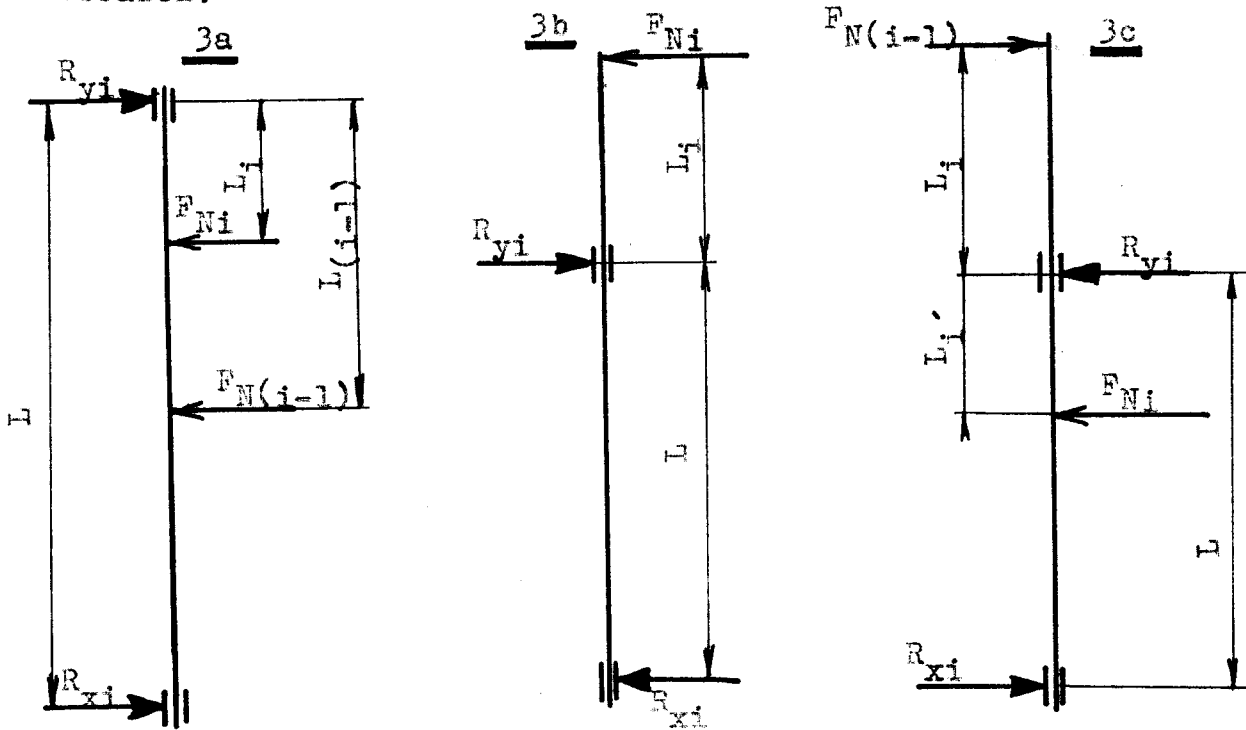
$$R_{yi} = F_N(i) + F_N(i-1) - R_{xi} - \text{reakce v ložisku}$$

Veškerá kola jsou konstruována tak, že axiální sílu přenáší u otáčkových kol horní ložisko a u posuvových kol ložisko spodní. Jsou-li na hřídeli dvě kola, axiální síly působí vždy proti sobě.

Kontroluje se vždy více namáhané ložisko.

Uložení hřídelů:

Obrázek:



5.4.1. Výpočet reakcí otáčkových kol

Výpočet se provádí pomocí tabulkky T.1 a T.3 a výše uvedených vzorců. Pro všechny hřídele platí $L = 340 \text{ mm}$ a uložení dle obrázku č. 3a.

Hřídel 1:

$$L_1 = 215 \text{ mm}$$

$$F_{N1} = \frac{2 \cdot 711}{40 \cdot 4 \cdot 0,9397} = 9457 \text{ N}$$

$$F_{A1} = 9457 \cdot 0,9397 \cdot 0,2588 = 2300 \text{ N}$$

$$R_{x1} = \frac{215 \cdot 9457}{340} = 5980 \text{ N}$$

$$R_{y1} = 9457 - 5980 = 3477 \text{ N}$$

Hřídel 2:

$$L_2 = 280 \text{ mm}$$

$$F_{N2} = \frac{2 \cdot 355,5}{4 \cdot 30 \cdot 0,9397} = 6301 \text{ N}$$

$$F_{A2} = 6301 \cdot 0,9397 \cdot 0,2588 = 1534 \text{ N}$$

$$R_{x2} = \frac{6301 \cdot 280 + 9457 \cdot 215}{340} = 11149 \text{ N}$$

$$R_{y2} = 6301 + 9457 - 11149 = 4609 \text{ N}$$

Hřídel 3:

$$L_3 = 45 \text{ mm}$$

$$F_{N3} = \frac{2 \cdot 237}{40 \cdot 3 \cdot 0,9397} = 4023 \text{ N}$$

$$F_{A3} = 4023 \cdot 0,9397 \cdot 0,2588 = 1022 \text{ N}$$

$$R_{x3} = \frac{4023 \cdot 45 + 6301 \cdot 280}{340} = 5722 \text{ N}$$

$$R_{y3} = 4023 + 6301 - 5722 = 4602 \text{ N}$$

Hřídel 4:

$$L_4 = 180 \text{ mm}$$

$$F_{N4} = \frac{2 \cdot 118,5}{37,2 \cdot 0,9397} = 2563 \text{ N}$$

$$R_{x4} = \frac{2563 \cdot 180 + 4023 \cdot 45}{340} = 1890 \text{ N}$$

$$R_{y4} = 2563 + 4023 - 1890 = 4696 \text{ N}$$

Hřídel 5:

$$L_5 = 265 \text{ mm}$$

$$F_{N5} = \frac{2 \cdot 73,6}{54,2 \cdot 0,9397} = 1450 \text{ N}$$

$$F_{A5} = 1450 \cdot 0,9397 \cdot 0,2588 = 353 \text{ N}$$

$$R_{x5} = \frac{1450 \cdot 265 + 2563 \cdot 180}{340} = 2130 \text{ N}$$

$$R_{y5} = 1450 + 2563 - 2130 = 1883 \text{ N}$$

Hřídel 6:

$$L_6 = 265 \text{ mm}$$

$$F_{A6} = F_{A5} = 353 \text{ N}$$

$$R_{x6} = \frac{265 \cdot 1450}{340} = 1130 \text{ N}$$

$$R_{y6} = 1450 - 1130 = 320 \text{ N}$$

5.4.2. Výpočet reakcí posuvových kol

Výpočet se provádí pomocí tabulky T.2, T.4 a výše uvedených vzorců. Pro všechny hřídele platí až do změny L = 310 mm a uložení dle obrázku č. 3a (změny L a uložení ve svedou ež u konkrétních příkladů).

Hřídel 1:

$$L_1 = 30 \text{ mm}$$

$$F_{N1} = \frac{2 \cdot 1,63}{31 \cdot 2 \cdot 0,9397} = 56 \text{ N}$$

$$F_{A1} = 56 \cdot 0,9397 + 0,2588 = 14 \text{ N}$$

$$R_{x1} = \frac{30 \cdot 56}{310} = 6 \text{ N}$$

$$R_{y1} = 56 - 6 = 50 \text{ N}$$

Hřídel 2:

$$L_2 = 45 \text{ mm}$$

$$F_{N2} = \frac{2 \cdot 3}{22 \cdot 2 \cdot 0,9397} = 145 \text{ N}$$

$$F_{A2} = 145 \cdot 0,9397 + 0,2588 = 35 \text{ N}$$

$$R_{x2} = \frac{145 \cdot 45 + 56 \cdot 30}{310} = 26,5 \text{ N}$$

$$R_{y2} = 145 + 56 - 26,5 = 174,5 \text{ N}$$

Hřídel 3:

$$L_3 = 280 \text{ mm}$$

$$F_{N3} = \frac{2 \cdot 7,4}{22 \cdot 2 \cdot 0,9397} = 358 \text{ N}$$

$$F_{A3} = 358 \cdot 0,9397 + 0,2588 = 87 \text{ N}$$

$$R_{x3} = \frac{358 \cdot 280 + 145 \cdot 45}{310} = 344 \text{ N}$$

$$R_{y3} = 358 + 145 - 344 = 159 \text{ N}$$

Hřídel 4:

$$L_4 = 30 \text{ mm}$$

$$F_{N4} = \frac{2 \cdot 18,5}{19 \cdot 2 \cdot 0,9397} = 1036 \text{ N}$$

$$F_{A4} = 1036 \cdot 0,9397 \cdot 0,2588 = 252 \text{ N}$$

$$R_{x4} = \frac{1036 \cdot 30 + 358 \cdot 280}{310} = 424 \text{ N}$$

$$R_{y4} = 1036 + 358 - 424 = 970 \text{ N}$$

Hřídel 5:

$$L_5 = 110 \text{ mm}$$

$$F_{N5} = \frac{2 \cdot 55,5}{30 \cdot 3 \cdot 0,9397} = 1313 \text{ N}$$

$$R_{x5} = \frac{1313 \cdot 110 + 1036 \cdot 30}{310} = 566 \text{ N}$$

$$R_{y5} = 1313 + 1036 - 566 = 1783 \text{ N}$$

Hřídel 6:

$$L_6 = 110 \text{ mm}$$

$$F_{A6} = F_{A5} = 319 \text{ N}$$

$$R_{x6} = \frac{110 \cdot 1313}{310} = 466 \text{ N}$$

$$R_{y6} = 1313 - 466 = 847 \text{ N}$$

Hřídel 7: Obrázek č. 3b

$$L_7 = 20 \text{ mm} \quad L = 60 \text{ mm}$$

$$F_{N7} = \frac{2 \cdot 11,5}{22 \cdot 2 \cdot 0,9397} = 516 \text{ N}$$

$$R_{x7} = \frac{20 \cdot 561}{60} = 187 \text{ N}$$

$$R_{y7} = 561 + 187 = 748 \text{ N}$$

Hřídel 7:

$$L_7 = 230 \text{ mm}$$

$$F_{N7} = \frac{2 \cdot 11,5}{54 \cdot 2 \cdot 0,9397} = 227 \text{ N}$$

$$R_{x7} = \frac{230 \cdot 227}{310} = 168 \text{ N}$$

$$R_{y7} = 561 + 227 - 168 = 620 \text{ N}$$

Hřídel 8:

$$L_8 = 50 \text{ mm}$$

$$F_{N8} = \frac{2 \cdot 3,4}{54 \cdot 2 \cdot 0,9397} = 67 \text{ N}$$

$$F_{A8} = 67 \cdot 0,9397 \cdot 0,2563 = 16 \text{ N}$$

$$R_{x8} = \frac{67 \cdot 50 + 227 \cdot 230}{310} = 179 \text{ N}$$

$$R_{y8} = 67 + 227 - 179 = 115 \text{ N}$$

Hřídel 6 (šnek):

$$L_6 = 85 \text{ mm} \quad L = 170 \text{ mm}$$

$F_{A\check{s}}$, $F_{t\check{s}}$ z kapitoly

$$F_{N\check{s}} = \frac{2857}{0,9798 \cdot 0,9397} = 3103 \text{ N}$$

$$F_{A\check{s}} = 8597 \text{ N}$$

$$R_{x\check{s}} = R_{y\check{s}} = \frac{85 \cdot 3103}{170} = 1526 \text{ N}$$

Hřídel 9:

F_{A2}, F_{N2} z kapitoly

$$L_9 = 95 \text{ mm} \quad L_K = 40 \text{ mm} \quad L = 200 \text{ mm}$$

$$F_{N9} = \frac{2 \cdot 702}{33 \cdot 4 \cdot 0,9397} = 11\ 318 \text{ N}$$

$$F_{A9} = 11318 \cdot 0,9397 \cdot 0,2588 = 2752 \text{ N}$$

$$F_{AK} = 2857 \text{ N}$$

$$F_{NK} = 9337,5 \text{ N}$$

$$R_{x9} = \frac{11318 \cdot 95 + 9337,5 \cdot 40}{200} = 7244 \text{ N}$$

$$R_{y9} = 11318 + 9337,5 - 7244 = 13411,5 \text{ N}$$

Hřídel 10: Obrázek č. 3c

$$L_{10} = 35 \text{ mm} \quad L_{10'} = 70 \text{ mm} \quad L = 170 \text{ mm}$$

$$F_{N10} = \frac{2 \cdot 702}{17 \cdot 4 \cdot 0,9397} = 21972 \text{ N}$$

$$R_{x10} = \frac{21972 \cdot 70 + 11318 \cdot 35}{170} = 11378 \text{ N}$$

$$R_{y10} = 11318 - 21972 + 11378 = 724 \text{ N}$$

Vřeteno: Obrázek č. 3b

$$L_v = 320 \text{ mm} \quad L = 410 \text{ mm}$$

$$F_{Nv} = F_{tv} = \frac{2 M_K}{D} = \frac{2 \cdot 711}{0,12} = 11850 \text{ N}$$

F_{Av} z kapitoly

$$F_{Av} = F_x = 20646 \text{ N}$$

$$F_{xv} = \frac{320 \cdot 11850}{410} = 9249 \text{ N}$$

$$F_{yv} = 11850 + 9249 = 21099 \text{ N}$$

5.4.3. Kontrola ložisek otáčkových kol

Z kapitoly 5.4.1. bereme vždy větší reakci (R_x nebo R_y) a dáváme ji za F_e , což je ekvivalentní zatížení ložiska. Axiální sílu neuvažujeme, protože ji většinou zachycuje méně namáhané ložisko.

K_i - zahrnuje rozložení os spoluzáhřívajících kol (obrázek č.1). Veškerá ložiska jsou navržena dle literatury /5/. Výpočty se provádějí dle vzorce:

$$L_h = \frac{16667}{n_i} \cdot \left(\frac{c_i}{F_e \cdot k_i} \right)^m$$

c_i - dynamická únosnost ložiska

L_h - trvanlivost ložiska v hodinách

$m = 3$ - pro kuličkové ložiska

$m = 3,33$ - pro ostatní ložiska

n_i - otáčky hřídele v min^{-1} , dle tabulky T.3 a T.4.

Hřídel 1: ložisko 6014 $k_1 = 1$

$$L_{h1} = \frac{16667}{49,4} \cdot \left(\frac{29000}{5930 \cdot 1} \right)^3 = 38480 \text{ h}$$

Hřídel 2: ložisko 7208 $k_2 = 0,7$

$$L_{h2} = \frac{16667}{98,8} \cdot \left(\frac{31500}{11149 \cdot 0,7} \right)^3 = 11093 \text{ h}$$

Hřídel 3: ložisko 6008 $k_3 = 0,00$

$$L_{h3} = \frac{16667}{148,2} \cdot \left(\frac{12900}{5722 \cdot 0,09} \right)^3 = 1767695 \text{ h}$$

Hřídel_4: ložisko 6005 $k_4 = 0,13$

$$L_{h4} = \frac{16667}{296,4} \cdot \left(\frac{7650}{4696 \cdot 0,13} \right)^3 = 110650 \text{ h}$$

Hřídel_5: ložisko 6007 $k_5 = 0,75$

$$L_{h5} = \frac{16667}{476,8} \cdot \left(\frac{12200}{2130 \cdot 0,75} \right)^3 = 15570 \text{ h}$$

Hřídel_6: ložisko 6007 $k_6 = 1$

$$L_{h6} = \frac{16667}{715} \cdot \left(\frac{12200}{1130 \cdot 1} \right)^3 = 29336 \text{ h}$$

5.4.4. Kontrola ložisek posuvových kol

Jelikož reakce u hřidelů 1 - 8 jsou velmi malé a životnost ložisek je vyšší než 200 000 hodin nebudeme je kontrolovat. Zkontrolujeme pouze ložiska na hřidelích 9, 10 a vřeteno vrtačky. Pro kontrolu ložiska bereme vždy větší reakci z kapitoly 5.4.2; k_i dle obrázku č. 2.

Hřídel_1: ložisko stejné jako u otáčkových kol hřidel 1
(6014)

Hřídel_2: ložisko 6005 $k_2 = 0,57$

Hřídel_3: ložisko 6005 $k_3 = 0,71$

Hřídel_4: ložisko 6004 $k_4 = 0,09$

Hřídel_5: ložisko 6005 $k_5 = 0,82$

<u>Hřídel_6:</u>	ložisko 6008	$k_6 = 1$
<u>Hřídel_7:</u>	ložisko 6003	$k_7 = 0,82$
<u>Hřídel_7:</u>	ložisko 6004	$k_7 = 0,26$
<u>Hřídel_8:</u>	ložisko 6005	$k_8 = 0,65$
<u>Hřídel_9:</u>	ložisko 6009	$k_9 = 1$

$$L_{h9} = \frac{16667}{0,152} \cdot \left(\frac{16000}{13411,5 \cdot 1} \right)^3 = 186183 \text{ h}$$

<u>Hřídel_10:</u>	ložisko 6009	$k_{10} = 1$
-------------------	--------------	--------------

$$L_{h10} = \frac{16667}{0,152} \cdot \left(\frac{16000}{11378 \cdot 1} \right)^3 = 304913 \text{ h}$$

<u>Vřeteno:</u>	ložisko NJ 210	$k_v = 1$
	ložisko 51110	$k_v = 1$ - pro axiál. sílu

$$L_{hv} = \frac{16667}{50} \cdot \left(\frac{48500}{21099 \cdot 1} \right)^{3,33} = 15328 \text{ h}$$

$$L_{hv_a} = \frac{16667}{65} \cdot \left(\frac{38000}{20646 \cdot 1} \right)^3 = 12860 \text{ h}$$

Veškerá ložiska jsou mazána tukem sodným V2 ČSN 65 6915. Oteplení ložisek je velmi malé, protože mají malé otáčky, proto si můžeme dovolit mazání tukem. Domazávací období u všech ložisek je přes 30 000 hodin.

5.5. Kontrola per a drážkování na cílačení a kolíků na stříh

Seznam vzorců a symbolů:

$$p = \frac{2 M_k}{d \cdot l \cdot t_1} / \text{MPa} / \quad (22) - \text{pro pero}$$

$$p = \frac{2 M_k}{d \cdot l \cdot A} / \text{MPa} / \quad (23) - \text{pro drážkování}$$

$p_D \geq p$ - podmínka pro otlačení

$p_D \approx 60 \text{ MPa}$ - pro pera a pevné drážkování

$p_D \approx 20 \text{ MPa}$ - pro pohyblivé drážkování

$$T_s = \frac{8 M_k}{D \cdot d^2 \cdot n} / \text{MPa} / \quad (24) - \text{pro kolík}$$

$T_{ds} \geq T_s$ - podmínka pro stříh

d - Ø hřídele (kolíku) nebo střední Ø drážkování

l - délka pera (drážkování) - dle literatury /6/

t_1 - výška pera - dle literatury /6/

A' - skutečná činná plocha všech drážek - dle literatury /6/

M_k - kroutící moment z tabulky T.3 nebo T.4

D - Ø přírub

p_D - dovolené otlačení

T_{ds} - dovolené napětí ve střihu - dle literatury /6/

n - počet kolíků

Kontrola se provádí u nejvíce namáhaných členů na jednotlivých hřídelích.

5.5.1. Kontrola u otáčkových hřídelů

Hřídel 1: pevné drážkování vnější $d = 8x62x72$

$$p_1 = \frac{2 \cdot 711}{0,067 \cdot 60 \cdot 24} = 14,8 \text{ MPa} - \text{vyhovuje}$$

pohyblivé drážkování vnitřní D = 8x42x48

$$p_1 = \frac{2 \cdot 711}{0,045 \cdot 150 \cdot 13,2} = 16,0 \text{ MPa} - \text{vyhovuje}$$

Hřídel_2: pevné drážkování vnější d = 8x42x48

$$p_2 = \frac{2 \cdot 355,5}{0,045 \cdot 40 \cdot 13,2} = 30 \text{ MPa} - \text{vyhovuje}$$

Hřídel_3: pero 12x8x63

$$p_3 = \frac{2 \cdot 237}{0,041 \cdot 63 \cdot 3,1} = 59,2 \text{ MPa} - \text{vyhovuje}$$

Hřídel_4: pero 10x8x40

$$p_4 = \frac{2 \cdot 118,5}{0,036 \cdot 40 \cdot 3,3} = 49,9 \text{ MPa} - \text{vyhovuje}$$

pohyblivé drážkování vnější d = 6x26x32

$$p_4 = \frac{2 \cdot 118,5}{0,029 \cdot 120 \cdot 9,9} = 6,9 \text{ MPa} - \text{vyhovuje}$$

Hřídel_5: pero 10x8x56

$$p_5 = \frac{2 \cdot 73,6}{0,036 \cdot 28 \cdot 3,3} = 44,3 \text{ MPa} - \text{vyhovuje}$$

Hřídel_6: pero 8x7x25

$$p_6 = \frac{2 \cdot 49}{0,03 \cdot 25 \cdot 2,9} = 45 \text{ MPa} - \text{vyhovuje}$$

kotfk 8x30

$d_s = 55 \text{ MPa}$

$$s = \frac{8 \cdot 49}{0,02 \cdot 3,14 \cdot 8^2 \cdot 2} = 11,9 \text{ MPa} = \text{vyhovuje}$$

5.5.2. Kontrola u posuvových hřídelí

Hřídel 2: pero 8x7x32

$$p_2 = \frac{2 \cdot 3}{0,026 \cdot 15 \cdot 2,9} = 5,3 \text{ MPa} = \text{vyhovuje}$$

Hřídel 3: pero 8x7x18

$$p_3 = \frac{2 \cdot 7,4}{0,026 \cdot 18 \cdot 2,9} = 11 \text{ MPa} = \text{vyhovuje}$$

Hřídel 4: pero 6x6x18

$$p_4 = \frac{2 \cdot 18,5}{0,021 \cdot 18 \cdot 2,5} = 39,2 \text{ MPa} = \text{vyhovuje}$$

Hřídel 5: pohyblivé drážkování vnější $\delta = 6x26x32$

$$p_5 = \frac{2 \cdot 55,5}{0,029 \cdot 90 \cdot 9,9} = 4,3 \text{ MPa} = \text{vyhovuje}$$

pero 10x8x18

$$p_5 = \frac{2 \cdot 55,5}{0,036 \cdot 18 \cdot 3,3} = 51,9 \text{ MPa} = \text{vyhovuje}$$

Hřídel 6: pero 6x6x40

$$p_6 = \frac{2 \cdot 35,1}{0,022 \cdot 22 \cdot 2,5} = 58 \text{ MPa} - \text{vyhovuje}$$

Hřídel 7: pero 6x6x28

$$p_7 = \frac{2 \cdot 11,5}{0,021 \cdot 28 \cdot 2,5} = 16,5 \text{ MPa} - \text{vyhovuje}$$

Hřídel 8: pero 8x7x30

$$p_8 = \frac{2 \cdot 3,4}{0,026 \cdot 30 \cdot 2,9} = 3,1 \text{ MPa} - \text{vyhovuje}$$

Hřídel 9: pevné drážkování vnější d = 8x46x54

$$p_9 = \frac{2 \cdot 702}{0,05 \cdot 50 \cdot 18} = 31,2 \text{ MPa} - \text{vyhovuje}$$

Hřídel 10: pevné drážkování vnější d = 8x36x42

$$p_{10} = \frac{2 \cdot 702}{0,039 \cdot 50 \cdot 13,2} = 54,6 \text{ MPa} - \text{vyhovuje}$$

5.6. Kontrola hřidelů

Tuto kontrolu provádět nebudeme, protože bychom museli znát přesné rozměry hřidelů (hlavně průměry). Je zřejmá, že všechny hřídele budou výhovovat, protože jak je vidět z předchozě navrhovaných průměrů v tabulce T.3 a T.4. Tyto předběžně navržené průměry jsou mnohem menší než průměry konkrétní.

6. POPIS

6.1. Kompletáž vrtacího stroje

Připevnění jednoúčelového stroje (zjednodušeného vřeteníku) na rameno vrtačky se provádí pomocí lišty a 4 šroubů M 12.

Nejprve se musí na určeném místě v ramenu vrtačky vyvrtat 4 otvory pro šrouby M 12. Pak se zjednodušený vřeteník nasune na rameno vrtačky VR 8A a broušenou lištou se vymezí vůle mezi prizmatem. Posune se až na označené místo, kde se provede zafixování polohy pomocí 4 šroubů M 12 ČSN 02 1101.1 a podložek 12 ČSN 02 1740.

Potom se na rameno vrtačky nasune normalizovaný vřeteník a celé rameno se znehybní pomocí normalizovaného sloupu, který dodá výrobce vrtačky VR 8A. Upevnění sloupu se provádí podle návodu, který výrobce dodává se slouolem. Takto upravená vrtačka VR 8A je připravena k vyvrtávání ojničních ok i ojničních hlav.

6.2. Hlavní parametry

Veškeré hlavní rozměry zjednodušeného vřeteníku jsou patrnny z přílohy č. 5.

Motor: P=5,5 kW - výkon

n=715 min⁻¹ - otáčky

380 V - 12 A - napájení

M_{N} = 54 Nm = nominální kroutící moment

Otačky: n₁ = 200 min⁻¹

n₂ = 65 min⁻¹

n₃ = 50 min⁻¹

Posuvy: $s_1 = 0,2$ mm
 $s_2 = 0,5$ mm
 $s_3 = \text{rychloposuv při } n_1$
 $s_4 = \text{reverzace při } n_1$

Vřeteno: \varnothing vřetene = 110 mm
 výsuvná délka = 270 mm
 upínací kužel = MORSE 6

Hlavní rozměry: max. výška = 1648 mm
 max. šířka = 495 mm
 max. hloubka s protizávažím = 1190 mm

Vypínání a zapínání: Provádí se pomocí tlačítka START/STOP.
 Maximální horní a dolní poloha vřetene
 je jištěna pomocí koncových spínačů.

Poznámka: Stroj je opatřen štítkem "ŘAZENÍ VŠECH STUPŇŮ POUZE
ZA KLIDU STROJE".

6.3. Protizávaží

Vzhledem k tomu, že součástí diplomové práce není konstrukce vyvrtávací hlavy, není tudíž možné vypočítat hodnotu protizávaží.

Dalo by se vypočítat protizávaží vrtáku \varnothing 30 mm a \varnothing 73 mm. Nejvhodnější by bylo zvolit pro tyto dva vrtáky kompromis, aby bylo jen jedno protizávaží.

Konstrukce zjednodušeného vřeteníku je uzpůsobena tomu, že protizávaží bude vyvedeno až za rameno vrtačky VR 8A. Toto protizávaží by bylo vedeno na dvou tyčích. Na těchto dvou tyčích by byla nasunuta dvě protizávaží. Jedno by bylo spojeno pevně s řetězem (pro vrtáky) a druhé by se připevňovalo pomocí šroubu a převlečné matice, když by se hrubovalo vyvrtávací hlavou.

Operace připevňování druhého protizávaží by se prováděla za klidu zjednodušeného vřeteníku a při úplně zasunutém vřetenu. Tuto operaci by vykonávala obsluha v čase, kdy by vrtání oka \varnothing 73 mm už skončilo, ale vrtání hlavy ještě ne.

Návrh celého zařízení pro protizávaží by se musel řešit až po konečném návrhu vyvrtávací hlavy.

6.4. Popis práce při hrubování

V tomto popisu se budeme zabývat pouze ojnici 27,5 B8, protože nemá průchozí otvor v ojničním oku. Ojnice 275 III má průchozí otvor, a tak se hrubování oka bude provádět současně při prvním hrubování hlavy. Tento postup bude podobný jako u ojnice 27,5 B8 při vrtání vyvrtávací hlavy.

6.4.1. Hrubování otvorů u ojnice 27,5 B8

Při této operaci se bude nejdříve provádět současné hrubování hlavy s vyvrtáváním oka \varnothing 30 mm a \varnothing 73 mm. Po ukončení vrtání \varnothing 73 mm se vřeteno vrtačky zasune na doraz a obsluha obejde stroj, kde připevní protizávaží pomocí šroubu a převlečné matici. Toto protizávaží je určeno pro vyvrtávací hlavu \varnothing 120 mm (122 mm).

Po ukončení prvního hrubování ojniční hlavy se celé rameno s oběma vřeteníky vysune nahoru do požadované výšky. U zjednodušeného vřeteníku dojde k výměně nástroje (\varnothing 73 mm za vyvrtávací hlavu \varnothing 120 mm). U normalizovaného vřeteníku se provede pouze to, že se s ním popojede horizontálně o 10 - 12 mm na určenou stranu. Při posunutí vřeteníku musíme zajistit dostatečné spodní vedení, které zachycuje nejvíce radiální síly.

Přípravek proto musí být konstruován tak, že při posunutí vřeteníku se buď vodící pouzdro pootočí na excentru nebo tam bude druhé vedení. (Tento problém není účelem diplomové práce, ale je také velmi důležitý při konstrukci celého jednoúčelového zařízení).

Po výměně nástroje a posunutí normalizovaného vřeteníku se rameno vrtečky spustí dolů tak, aby obě vyvrtávací hlavy, respektivě jejich vedení, zapadly do vodících pouzder. Najíždění ramenem je až do polohy, kdy může vyvrtávací hlava již začít obrábět (nepoužívá se zde rychloposuv).

Po tomto najetí až k obrobku následuje vyvrtání ojničního oka na \varnothing 120 mm a druhé hrubování ojniční hlavy.

7. TECHNICKO - EKONOMICKÉ ZHODnocení

7.1. Obráběcí časy u ojniční hlavy a oka při hrubování

Abychom dostali představu o tom, jak dlouhé časy obrábění budou při vyvrtávání otvoru v oku a v hlavě ojnice, musíme znát časy obrábění u obou těchto operací. Musíme také uvažovat, že obě tyto operace se budou provádět současně, z toho plyne, že hlavní i vedlejší časy musí být přibližně stejné, aby byla zaručena efektivnost práce.

7.1.1. Výpočet časů na hrubování u ojničného oka

Průměr 30 mm

$$\text{posuvová rychlosť } \dots v_1 = n_1 \cdot s_1 = 200 \cdot 0,2 = 40 \text{ mm/min}$$

$$\text{čas obrábění } \dots t_1 = \frac{l_1 + p}{v_1} = \frac{40 + 10}{40} = 1 \text{ min } 15 \text{ s}$$

Průměr 73 mm

$$\text{posuvová rychlosť } \dots v_2 = n_2 \cdot s_2 = 65 \cdot 0,5 = 32,5 \text{ mm/min}$$

$$\text{čas obrábění } \dots t_2 = \frac{l_2 + p}{v_2} = \frac{85 + 10}{32,5} = 2 \text{ min } 56 \text{ s}$$

$$T_C = t_1 + t_2 = 1,25 + 2,93 = 4 \text{ min } 11 \text{ s}$$

Nejsou zde zahrnuty časy najezdění a vyjíždění vrtáku rychloposuvem s na výměnu nástroje /vrták $\emptyset 73$ mm/.

7.1.2. Výpočet časů na hrubování u ojniční hlavy

Vyvrtávací hlava

$$\text{posuvová rychlos} \dots v_3 = n_0 \cdot s_0 = 50 \cdot 0,18 = 9 \text{ mm/min}$$

$$\text{čas obrábění} \dots t = \frac{l_3 + k}{v_3} = \frac{100 + 20}{9} = 13 \text{ min } 20 \text{ s}$$

7.1.3. Porovnání časů obou operací

Jak je vidět obráběcí čas u ojnicí hlavy je mnohem delší než obráběcí čas u ojnicího oka. Obráběcí čas ojnicí hlavy zůstane delší i potom, když budeme uvažovat najízdění a vyjízdění vrtáku rychloposuvem, připevňování přídavného protizávaží pro obrábění s vyvrtávací hlavou a podobně.

7.2. Výhody pracoviště na vrtačce VR 8A

7.2.1. Úspora časů při hrubování a obrábění načisto

Můžeme tedy konstatovat, že obrábění s jedním zjednodušeným a jedním normalizovaným vřeteníkem bude velmi ekonomické, co se týká úspory hlavních i vedlejších časů.

Musíme zde uvažovat, že ojnicí hlavu budeme hrubovat dvakrát s větším úběrem materiálu. Při posunutí vřeteníku o 10 /12/mm vzniká elipsovity tvar. Po rozříznutí a opracování dosedacích ploch vznikne téměř kruhový tvar. Přídavky na obrábění načisto jsou v tomto případě minimální, a proto se může zvýšit řezná i posuvová rychlos při obrábění načisto.

U ojnici 27,5 B8 zkrácení bude činit asi 1/4 stávajícího obráběcího času na hrubování i načisto. Toto zkrácení je způsobeno především při hrubování, protože zde obrábíme ojnicí hlavu i oko současně.

U ojnici 275 III se sice čas na hrubování prodlouží,

protože hrubujeme ojnicí hlavu dvakrát a ojnicí oko jen jednou, ale čas při obrábění načisto se zase zkrátí. Toto zkrácení není ovšem tak markantní, aby se dalo hovořit o úsporu času. Dá se předpokládat, že při dvojím hrubování se čas na obrábění prodlouží více, než se zkrátí při obrábění načisto. Při obrábění této ojnice hlavní úsporu času dosáhneme tím, že se zkrátí vedlejší časy. Tímto zkrácením vedlejších časů se celkový čas obrábění zkrátí asi o 1/6.

7.2.2. Úspora a využití pracoviště

Při takto provedeném pracovišti vrtačky VR 8A dojde k uvolnění pracoviště na vodorevné vyvrtávačce W 100, kde se operace hrubování ojnicích ok doposud provádí. Dojde také k lepšímu využití pracoviště vrtačky VR 8A. Dále se nebudou muset řešit dva přípravky na upínání ojnic /pro každý stroj zvlášť/, ale pouze jeden komplexní přípravek.

7.2.3. Úspora vedlejších časů

Jak již bylo výše uvedeno největší část úspory časů u ojnice 275 III, ale i u ojnice 27,5 38 tvoří úspora vedlejších časů. Největší podíl na vedlejších časech má upnutí a ustavení ojnice do přípravku, dále mezioperační doprava /stroje jsou v různých budovách/. Dá se předpokládat, že se ušetří pracovníci pro opakování upnutí a ustavení ojnice do přípravku i na mezioperační dopravu.

8. ZÁVĚR

Účelem této diplomové práce bylo navrhnutí jednoúčelového zařízení na vyvrtávání ok ojnic.

V první části práce bylo navrhnuto několik možných variant řešení a různé pohledy na ně. V druhé části, která byla výpočetová bylo navrženo a zkонтrolováno veškeré zařízení jednoúčelového stroje.

Při posuzování navrhovaných variant je nutné brát v úvahu především účelnost a spolehlivost zařízení. Nesmíme však zapomenout také na to, že každý závod má určité možnosti a schopnosti. Proto bylo přihlédnuto při řešení jednoúčelového obráběcího stroje také k této skutečnosti.

Kromě ekonomického efektu, který jednoúčelový stroj bezesporu přináší, je zde také efekt úspory pracovníků.

Závěrem bych chtěl poděkovat vedoucímu diplomové práce Ing. Přemyslovi Pekornému, CSc., Doc. Ing. Vladimíru Gabrielovi, CSc., konzultantu Zdeňku Burdychovi za cenné připomínky a poskytnutí potřebných materiálů k vypracování diplomové práce.

SEZNAM PŘÍLOH:

- Příloha č. 1 - Technologický postup ojnice 27,5 R8
Příloha č. 2 - Technologický postup ojnice 275 III
Příloha č. 3 - Výkres výkovku ojnice 27,5 R8 (V-Dm 11 361)
Příloha č. 4 - Výkres výlisku ojnice 275 III (Dm 20 814/1)
Příloha č. 5 - Výkres VŘETENÍK 2 - KOM - OS - 205 - 01/1
Příloha č. 6 - Výkres VŘETENÍK 2 - KOM - OS - 205 - 01/2
Příloha č. 7 - Výkres VŘETENÍK 2 - KOM - OS - 205 - 01/3
Příloha č. 8 - Výkres VŘETENÍK 2 - KOM - OS - 205 - 01/4
Příloha č. 9 - Výkres VŘETENÍK 2 - KOM - OS - 205 - 01/5
Příloha č. 10 - Výkres VŘETENÍK 2 - KOM - OS - 205 - 01/6
Příloha č. 11 - KUSOVNÍK 2 - KOM - OS - 205 - 01/7
Příloha č. 12 - KUSOVNÍK 2 - KOM - OS - 205 - 01/8
Příloha č. 13 - KUSOVNÍK 2 - KOM - OS - 205 - 01/9
Příloha č. 14 - KUSOVNÍK 2 - KOM - OS - 205 - 01/10
Příloha č. 15 - KUSOVNÍK 2 - KOM - OS - 205 - 01/11
Příloha č. 16 - KUSOVNÍK 2 - KOM - OS - 205 - 01/12
Příloha č. 17 - KUSOVNÍK 2 - KOM - OS - 205 - 01/13
Příloha č. 18 - KUSOVNÍK 2 - KOM - OS - 205 - 01/14
Příloha č. 19 - KUSOVNÍK 2 - KOM - OS - 205 - 01/15

SEZNAM POUŽITÉ LITERATURY

- /1/ PŘIKRYL Z. - MUSÍLKOVÁ R.: Teorie obrábění, Praha 1982
- /2/ BOHÁČEK F. a kol.: Části a mechanismy strojů III - Převody, VUT Brno 1981
- /3/ PRÁŠIL L. - CLEHLOVÁ M.: Části strojů a mechanismů (cvičení), VŠST Liberec 1984
- /4/ KATALOG ELEKTROMOTORŮ: Trojfázové asynchronní motory s kotvou na krátko, zavřené řady F (velikosti 160-180), ZSE Praha 1984
- /5/ FRÖHLICH J. a kol.: Katalog ZKL, Praha SNTL 1984
- /6/ VÁVRA P. a kol.: Strojnické tabulky pro SPŠ strojnické, Praha SNTL 1984
- /7/ FRÖHLICH J.: Technika uložení s valivými ložisky, Praha SNTL 1984
- /8/ KÖNIG V.: Jednoúčelové a stavebnicové stroje pro třískové obrábění, VŠST Liberec 1989
- /9/ CHVÁLA B. - NEDBAL J. - DUNAY G.: Automatizace, Praha SNTL 1985
- /10/ BRENIK P. - PFČ J.: Obráběcí stroje, Praha SNTL 1985
- /11/ SANDVIK COROMAT: Katalog T-MAX U-KURZLOCHBOHRER
- /12/ SECO: Katalog Bohrer und Zubehör
- /13/ SIG: Katalog Tiefbohren
- /14/ KOLEKTIV: V. Konferencia o vrtání a dokončování hlubokých otvorov, P. ČSVTS pri ZŠS Dubnica nad Váhom 1988

TECHNOLOGICAL POSITION

卷之二

Amicit

卷之三

SINDEA

1

8

卷之三

۱۷

Ms. A. 1. 16

140 M. GAY

TOPIQUE

卷之三

وَلِمَنْجَانَةِ مُهَاجِرَةِ الْمُهَاجِرَةِ وَالْمُهَاجِرَةِ

—
—
—
—

Thinking for myself & making my own rules
is what I like best of all.

G421	44	55	1135	12
			21053	62

بَلْ وَمَنْ يُحْكِمُ الْأَيْمَانَ فَلَهُ
وَمَنْ يُؤْخِذُ الْأَيْمَانَ فَلَهُ

وَلِمَنْدَلْتَ وَلِمَنْدَلْتَ وَلِمَنْدَلْتَ وَلِمَنْدَلْتَ

卷之三

لے کر سے میسر ہے۔

卷之三

Technologický postup

三

Dec 16 1934

Chap. 10.]

Schistocerca gregaria (L.)
No. 62. (14) 223 - 26. 7. 1913.

16552 ✓ 1714 ✓

July 22, 1914) 223 : 269 AB.

سچانہ نوچنی کے وقار پر اگر ملکہ کے لئے کامیابی کا
لکھاں تھا تو اس کے لئے اپنے بھائی کو اپنے ساتھ
لے کر اپنے بھائی کو اپنے ساتھ لے کر اپنے بھائی کو

DNE	POPIS ZMĚNY	I KROVIDL	VYSTAVIL
1988-06-06	POZDÍR MASTICE I VÍČEK VÝKON VÝKON VÝKON VÝKON VÝKON VÝKON	I KROVIDL	DNE

CHAP. V.

Technologický postup

č.v. Šíře tisku

číslo řádku	PRAC. 26-30	TR. 31-2	STŘED. 36-38	TA 51-56	TB 57-60	POPIS PRÁCE		POMŮCKY	SOUVISEJÍCÍ DOK.
						DOPRAVIT	POVÍTAT		
1						zpracovat 105 a 114 13 lacy řad.			
2									
3									
4									
5									
6									
7									
8									
9									
10									
11									
12									
13									
14									
15									
16									
17									
18									
19									
20									
21									
22									
23									
24									
25									
26									
27									
28									
29									
30									
31									
32									
33									
34									
35									
36									
37									
38									
39									
40									
41									
42									
43									
44									
45									
46									
47									
48									
49									
50									
51									
52									
53									
54									
55									
56									
57									
58									
59									
60									
61									
62									
63									
64									
65									
66									
67									
68									
69									
70									
71									
72									
73									
74									
75									
76									
77									
78									
79									
80									
81									
82									
83									
84									
85									
86									
87									
88									
89									
90									
91									
92									
93									
94									
95									
96									
97									
98									
99									
100									
101									
102									
103									
104									
105									
106									
107									
108									
109									
110									
111									
112									
113									
114									
115									
116									
117									
118									
119									
120									
121									
122									
123									
124									
125									
126									
127									
128									
129									
130									
131									
132									
133									
134									
135									
136									
137									
138									
139									
140									
141									
142									
143									
144									
145									
146									
147									
148									
149									
150									
151									
152									
153									
154									
155									
156									
157									
158									
159									
160									
161									
162									
163									
164									
165									
166									
167									
168									
169									
170									
171									
172									
173									
174									
175									
176									
177									
178									
179									
180									
181									
182									
183									
184									
185									
186									
187									
188									
189									
190									
191									
192									
193									
194									
195									
196									
197									
198									
199									
200									
201									
202									
203									
204									
205									
206									
207									
208									
209									
210									
211									
212									
213									
214									
215									
216									
217									
218									

Technologický postup v COOPERACE

ČKD - 68							Název skupiny				Název součásti				Kusů		Požice	
Jakość materiálu		Rozměr - model - záplustka			Hmotnost		Cena za 1 kg		Cena celkem		Číselník		Kalk. vzorec		Typ motoru			
Opis.	Pracov.	Tr.	tB	tA	tB	tA	Kčs	tA	Kčs	Poč. list	Lis. č.	Cts. třídušku	Sestava	Výrobek středisko	Odvád. středisko			
11. 36.5/6.4/208	64	2,00	1,80	24,26	27,81	7,00	7,00	24,26	180	1	1	POSTUP PRACE	Spec. náradí, přípravky					
Náradí 90 x 10 x 20 mm = 90 + 100 = 130 mm + 135 mm = 265 mm + 235 mm = 500 mm + 500 mm = 1000 mm + 1000 mm = 2000 mm + 2000 mm = 4000 mm + 4000 mm = 8000 mm + 8000 mm = 16000 mm + 16000 mm = 32000 mm + 32000 mm = 64000 mm + 64000 mm = 128000 mm + 128000 mm = 256000 mm + 256000 mm = 512000 mm + 512000 mm = 1024000 mm + 1024000 mm = 2048000 mm + 2048000 mm = 4096000 mm + 4096000 mm = 8192000 mm + 8192000 mm = 16384000 mm + 16384000 mm = 32768000 mm + 32768000 mm = 65536000 mm + 65536000 mm = 131072000 mm + 131072000 mm = 262144000 mm + 262144000 mm = 524288000 mm + 524288000 mm = 1048576000 mm + 1048576000 mm = 2097152000 mm + 2097152000 mm = 4194304000 mm + 4194304000 mm = 8388608000 mm + 8388608000 mm = 16777216000 mm + 16777216000 mm = 33554432000 mm + 33554432000 mm = 67108864000 mm + 67108864000 mm = 134217728000 mm + 134217728000 mm = 268435456000 mm + 268435456000 mm = 536870912000 mm + 536870912000 mm = 1073741824000 mm + 1073741824000 mm = 2147483648000 mm + 2147483648000 mm = 4294967296000 mm + 4294967296000 mm = 8589934592000 mm + 8589934592000 mm = 17179869184000 mm + 17179869184000 mm = 34359738368000 mm + 34359738368000 mm = 68719476736000 mm + 68719476736000 mm = 137438953472000 mm + 137438953472000 mm = 274877906944000 mm + 274877906944000 mm = 549755813888000 mm + 549755813888000 mm = 1099511627776000 mm + 1099511627776000 mm = 2199023255520000 mm + 2199023255520000 mm = 4398046511040000 mm + 4398046511040000 mm = 8796093022080000 mm + 8796093022080000 mm = 17592186044160000 mm + 17592186044160000 mm = 35184372088320000 mm + 35184372088320000 mm = 70368744176640000 mm + 70368744176640000 mm = 140737488353280000 mm + 140737488353280000 mm = 281474976706560000 mm + 281474976706560000 mm = 562949953413120000 mm + 562949953413120000 mm = 1125899906826240000 mm + 1125899906826240000 mm = 2251799813652480000 mm + 2251799813652480000 mm = 4503599627304960000 mm + 4503599627304960000 mm = 9007199254609920000 mm + 9007199254609920000 mm = 18014398509219840000 mm + 18014398509219840000 mm = 36028797018439680000 mm + 36028797018439680000 mm = 72057594036879360000 mm + 72057594036879360000 mm = 144115188073758720000 mm + 144115188073758720000 mm = 288230376147517440000 mm + 288230376147517440000 mm = 576460752295034880000 mm + 576460752295034880000 mm = 1152921504590069760000 mm + 1152921504590069760000 mm = 2305843009180139520000 mm + 2305843009180139520000 mm = 4611686018360279040000 mm + 4611686018360279040000 mm = 9223372036720558080000 mm + 9223372036720558080000 mm = 18446744073441116160000 mm + 18446744073441116160000 mm = 36893488146882232320000 mm + 36893488146882232320000 mm = 73786976293764464640000 mm + 73786976293764464640000 mm = 147573952587528929280000 mm + 147573952587528929280000 mm = 295147905175057858560000 mm + 295147905175057858560000 mm = 590295810350115717120000 mm + 590295810350115717120000 mm = 1180591620700231434240000 mm + 1180591620700231434240000 mm = 2361183241400462868480000 mm + 2361183241400462868480000 mm = 4722366482800925736960000 mm + 4722366482800925736960000 mm = 9444732965601851473920000 mm + 9444732965601851473920000 mm = 18889465931203702947840000 mm + 18889465931203702947840000 mm = 37778931862407405895680000 mm + 37778931862407405895680000 mm = 75557863724814811791360000 mm + 75557863724814811791360000 mm = 151115727449629623582720000 mm + 151115727449629623582720000 mm = 302231454899259247165440000 mm + 302231454899259247165440000 mm = 604462909798518494330880000 mm + 604462909798518494330880000 mm = 1208925819597036988661760000 mm + 1208925819597036988661760000 mm = 2417851639194073977323520000 mm + 2417851639194073977323520000 mm = 4835703278388147954647040000 mm + 4835703278388147954647040000 mm = 9671406556776295909294080000 mm + 9671406556776295909294080000 mm = 19342813113552591818588160000 mm + 19342813113552591818588160000 mm = 38685626227105183637176320000 mm + 38685626227105183637176320000 mm = 77371252454210367274352640000 mm + 77371252454210367274352640000 mm = 154742504908420734548705280000 mm + 154742504908420734548705280000 mm = 309485009816841469097410560000 mm + 309485009816841469097410560000 mm = 618970019633682938194821120000 mm + 618970019633682938194821120000 mm = 1237940039267365876389642240000 mm + 1237940039267365876389642240000 mm = 2475880078534731752779284480000 mm + 2475880078534731752779284480000 mm = 4951760157069463505558568960000 mm + 4951760157069463505558568960000 mm = 9903520314138927011117137920000 mm + 9903520314138927011117137920000 mm = 19807040628277854022234275840000 mm + 19807040628277854022234275840000 mm = 39614081256555708044468551680000 mm + 39614081256555708044468551680000 mm = 79228162513111416088937103360000 mm + 79228162513111416088937103360000 mm = 158456325026222832177874206720000 mm + 158456325026222832177874206720000 mm = 316912650052445664355748413440000 mm + 316912650052445664355748413440000 mm = 633825300104891328711496826880000 mm + 633825300104891328711496826880000 mm = 1267650600209782657422937653760000 mm + 1267650600209782657422937653760000 mm = 2535301200419565314845875307520000 mm + 2535301200419565314845875307520000 mm = 5070602400839130629691750615040000 mm + 5070602400839130629691750615040000 mm = 10141204801678261259383501230080000 mm + 10141204801678261259383501230080000 mm = 20282409603356522518767002460160000 mm + 20282409603356522518767002460160000 mm = 40564819206713045037534004920320000 mm + 40564819206713045037534004920320000 mm = 81129638413426090075068009840640000 mm + 81129638413426090075068009840640000 mm = 162259276826852180150136019681280000 mm + 162259276826852180150136019681280000 mm = 324518553653704360300272039362560000 mm + 324518553653704360300272039362560000 mm = 649037107307408720600544078725120000 mm + 649037107307408720600544078725120000 mm = 1298074214614817441201088157450240000 mm + 1298074214614817441201088157450240000 mm = 2596148429229634882402176314900480000 mm + 2596148429229634882402176314900480000 mm = 5192296858459269764804352629800960000 mm + 5192296858459269764804352629800960000 mm = 10384593716918539529608705257601920000 mm + 10384593716918539529608705257601920000 mm = 20769187433837079059217410515203840000 mm + 20769187433837079059217410515203840000 mm = 41538374867674158118434821030407680000 mm + 41538374867674158118434821030407680000 mm = 83076749735348316236869642060815360000 mm + 83076749735348316236869642060815360000 mm = 166153499470696632473739284121630720000 mm + 166153499470696632473739284121630720000 mm = 332306998941393264947478568243261440000 mm + 332306998941393264947478568243261440000 mm = 664613997882786529894957136486522880000 mm + 664613997882786529894957136486522880000 mm = 1329227995765573059789914272973055680000 mm + 1329227995765573059789914272973055680000 mm = 2658455991531146119579828545946111280000 mm + 2658455991531146119579828545946111280000 mm = 5316911983062292239159657091892222560000 mm + 5316911983062292239159657091892222560000 mm = 10633823966124844678319314183784445120000 mm + 10633823966124844678319314183784445120000 mm = 21267647932249689356638628367568890240000 mm + 21267647932249689356638628367568890240000 mm = 42535295864499378713277256735137780480000 mm + 42535295864499378713277256735137780480000 mm = 85070591728998757426554513470275560960000 mm + 85070591728998757426554513470275560960000 mm = 17014118345799751485310902694055112160000 mm + 17014118345799751485310902694055112160000 mm = 34028236691599503010621805388110224320000 mm + 34028236691599503010621805388110224320000 mm = 68056473383199006021243610776220448640000 mm + 68056473383199006021243610776220448640000 mm = 136112946766398012042487221552440897280000 mm + 136112946766398012042487221552440897280000 mm = 272225893532796024084974443104881794560000 mm + 272225893532796024084974443104881794560000 mm = 544451787065592048169948886209763589120000 mm + 544451787065592048169948886209763589120000 mm = 1088903574131184096339897724419527178240000 mm + 1088903574131184096339897724419527178240000 mm = 2177807148262368192679795448839054356480000 mm + 2177807148262368192679795448839054356480000 mm = 435561429652473638535959089767810871120000 mm + 435561429652473638535959089767810871120000 mm = 871122859304947277071918179535621742240000 mm + 871122859304947277071918179535621742240000 mm = 174224571860985455414383635907124348480000 mm + 174224571860985455414383635907124348480000 mm = 348449143721970910828767271814246696960000 mm + 348449143721970910828767271814246696960000 mm = 696898287443941821657534543628493393840000 mm + 696898287443941821657534543628493393840000 mm = 1393796574887883643315069087256986787680000 mm + 1393796574887883643315069087256986787680000 mm = 2787593149775767286630138174513973575360000 mm + 2787593149775767286630138174513973575360000 mm = 5575186299551534573260276349027947150720000 mm + 5575186299551534573260276349027947150720000 mm = 11150372598553085146520532688559894301440000 mm + 11150372598553085146520532688559894301440000 mm = 22300745197106170293041065377119788602880000 mm + 22300745197106170293041065377119788602880000 mm = 44601490394212340586082130754239577205760000 mm + 44601490394212340586082130754239577205760000 mm = 8920298078842468117216426150847915441120000 mm + 8920298078842468117216426150847915441120000 mm = 17840596157684936234432852301695830882240000 mm + 17840596157684936234432852301695830882240000 mm = 35681192315369872468865704603391661764480000 mm + 35681192315369872468865704603391661764480000 mm = 7136238463073974493773140920678332352960000 mm + 7136238463073974493773140920678332352960000 mm = 14272476926147948947546281841356666705920000 mm + 14272476926147948947546281841356666705920000 mm = 28544953852295897895092563682713333411840000 mm + 28544953852295897895092563682713333411840000 mm = 57089907704591795790185127365426666823680000 mm + 57089907704591795790185127365426666823680000 mm = 114179815409023591580370254730853333647360000 mm + 114179815409023591580370254730853333647360000 mm = 228359630818047183160740509461706667294720000 mm + 228359630818047183160740509461706667294720000 mm = 456719261636094366321481018923413334589440000 mm + 456719261636094366321481018923413334589440000 mm = 913438523272188732642962037846826667178880000 mm + 913438523272188732642962037846826667178880000 mm = 1826877046544375465285924075693413334357760000 mm + 1826877046544375465285924075693413334357760000 mm = 3653754093088750930571848151386826667155520000 mm + 3653754093088750930571848151386826667155520000 mm = 730750818617750186114369630277341333411040000 mm + 730750818617750186114369630277341333411040000 mm = 1461501637235000372228738605554682666705520000 mm + 1461501637235000372228738605554682666705520000 mm = 292300327447000074445747721110936533333040000 mm + 292300327447000074445747721110936533333040000 mm = 584600654894000148891495442221873066666080000 mm + 584600654894000148891495442221873066666080000 mm = 1169201309880002977839908844443746533332160000 mm + 1169201309880002977839908844443746533332160000 mm = 2338402619760005955598817768887493066664320000 mm + 2338402619760005955598817768887493066664320000 mm = 467680523952001191119763553777496533332640000 mm + 467680523952001191119763553777496533332640000 mm = 935361047904002382239527107554993066665280000 mm + 935361047904002382239527107554993066665280000 mm = 1870722089808047676479542115109965333330560000 mm + 1870722089808047676479542115109965333330560000 mm = 37414441796160953529590842																		

Technologický postup

1	SKŘÍŇ	ODLITEK	42 2420	1
1	DESKA 1	ODLITEK	42 2420	2
1	DESKA 2	ODLITEK	42 2420	3
1	DESKA 3	ODLITEK	42 2420	4
1	KRYT SPODNÍ	ODLITEK	42 2420	5
1	KRYT HORNÍ	ODLITEK	42 2420	6
1	PRIZMA	ODLITEK	42 2435	7
1	PŘÍRUBA	ODLITEK	42 2420	8
1	KOTOUČ 1	ODLITEK	42 2420	9
1	KOTOUČ 2	ODLITEK	42 2420	10
1	DRŽÁK 1	ODLITEK	42 2420	11
1	DRŽÁK 2	ODLITEK	42 2420	12
1	VŘETENO	ČSN 42 5510.1	11 700	13
1	VEDENÍ VŘETENE	ČSN 42 5510.1	11 600.4	14
1	VÝSUVNÉ VEDENÍ	ČSN 42 5510.1	11 600	15
1	HŘÍDEL P 1	ČSN 42 5510.1	11 600	16
1	HŘÍDEL P 2	ČSN 42 5510.1	11 600	17
1	HŘÍDEL P 3	ČSN 42 5510.1	11 600	18
1	HŘÍDEL P 4	ČSN 42 5510.1	11 600	19
1	HŘÍDEL P 5	ČSN 42 5510.1	11 600	20

M. Schmidt

5.8.1990

VŠST
Liberec

KUSOVNÍK

15

2-KOM-OS-205-01

7

1	HŘÍDEL P 6	ČSN 42 5510.1 11 600.4	21
1	HŘÍDEL P 7	ČSN 42 6510.1 14 331.4	22
1	HŘÍDEL P 8	ČSN 42 5510.1 11 600.6	23
1	HŘÍDEL O 1	ČSN 42 6510.1 13 151	24
1	HŘÍDEL O 2	ČSN 42 5510.1 11 700	25
1	HŘÍDEL O 3	ČSN 42 5510.1 11 700	26
1	HŘÍDEL O 4	ČSN 42 5510.1 11 600	27
1	HŘÍDEL O 5	ČSN 42 5510.1 11 600	28
1	HŘÍDEL V 1	ČSN 42 6510.1 15 241.6	29
1	HŘÍDEL V 2	ČSN 42 6510.1 13 151	30
1	KOLO 0 1	ČSN 42 6510.1 15 241.6	31
1	KOLO 0 2	ČSN 42 6510.1 14 140.6	32
1	KOLO 0 3	ČSN 42 6510.1 15 241.4	33
1	KOLO 0 4	ČSN 42 6510.1 14 140.6	34
1	KOLO 0 5	ČSN 42 5510.1 11 700.4	35
1	KOLO 0 6	ČSN 42 5510.1 15 241.4	36
1	KOLO 0 7	ČSN 42 5510.1 11 600.4	37
1	KOLO 0 8	ČSN 42 5510.1 11 700.1	38
1	KOLO 0 9	ČSN 42 5510.1 11 600.4	39
1	KOLO 0 10	ČSN 42 6510.1 12 020.9	40

M.Schmidt

5.8.1990

KOM	Název a popis	Příloha		
1	2			
1	KOLO O 11	ČSN 42 5510.1 11 600.4		41
1	KOLO O 12	ČSN 42 6510.1 12 020.9		42
1	KOLO O 13	ČSN 42 6510.1 14 140.4		43
1	KOLO P 1	ČSN 42 6510.1 13 240.6		44
1	KOLO P 2	ČSN 42 5510.1 11 600.4		45
1	KOLO P 3	ČSN 42 6510.1 13 240.6		46
1	KOLO P 4	ČSN 42 5510.1 11 600.4		47
1	KOLO P 5	ČSN 42 6510.1 13 240.6		48
1	KOLO P 6	ČSN 42 5510.1 11 600.4		49
1	KOLO P 7	ČSN 42 6510.1 14 140.6		50
1	KOLO P 8	ČSN 42 5510.1 11 600.4		51
1	KOLO P 9	ČSN 42 6510.1 15 241.6		52
1	KOLO P 10	ČSN 42 5510.1 11 500.1		53
1	KOLO P 11	ČSN 42 5510.1 11 500.1		54
1	KOLO P 12	ČSN 42 5510.1 12 020.9		55
1	KOLO P 13	ČSN 42 5510.1 11 500.1		56
1	KOLO P 14	ČSN 42 6510.1 15 241.6		57
1	KOLO P 15	ČSN 42 6510.1 15 241.6		58
1	ŠNEKOVÉ KOLO	ODLITEK 42 3347.02		59
1	TÁHLO 1	SVAŘENEC 11 373.4		60

M. Schmidt

5.8.1990

VŠST
Liberec

KUSOVNÍK

15

2-KOM-OS-205-01

9

	Materiál	Popis	Kód	Pozn.	Počet	Popis	Kód	Pozn.	Počet
1	TÁHLO 2	SVAŘENEC	11 373						61
1	TÁHLO 3	SVAŘENEC	11 373						62
1	TÁHLO 4	SVAŘENEC	11 373						63
1	KULISA 1	SVAŘENEC	11 373						64
1	KULISA 2	SVAŘENEC	11 373						65
2	HŘÍDEL	ČSN 42 5510.1	11 500						66
2	VEDENÍ 1	ČSN 42 6520.1	11 343.4						67
2	VEDENÍ 2	ČSN 42 6520.1	11 343.4						68
1	ROZPĚRNÝ KROUŽ.	1 ČSN 42 5715.0	11 353						69
1	ROZPĚRNÝ KROUŽ.	2 ČSN 42 5715.0	11 353						70
1	ROZPĚRNÝ KROUŽ.	3 ČSN 42 5715.0	11 353						71
1	ROZPĚRNÝ KROUŽ.	4 ČSN 42 5715.0	11 353						72
1	ROZPĚRNÝ KROUŽ.	5 ČSN 42 5715.0	11 353						73
1	ROZPĚRNÝ KROUŽ.	6 ČSN 42 5715.0	11 353						74
1	ROZPĚRNÝ KROUŽ.	7 ČSN 42 5715.0	11 353						75
1	ROZPĚRNÝ KROUŽ.	8 ČSN 42 5715.0	11 353						76
1	ROZPĚRNÝ KROUŽ.	9 ČSN 42 5715.0	11 353						77
1	ROZPĚRNÝ KROUŽ.	10 ČSN 42 5715.0	11 353						78
3	ROZPĚRNÝ KROUŽ.	11 ČSN 42 5715.0	11 353						79
2	ROZPĚRNÝ KROUŽ.	12 ČSN 42 5715.0	11 353						80

M. Schmidt

5.8.1990

VŠST
Liberec

KUSOVNÍK

15

2-KOM-OS-205-01

10

POČET	ARTIKL	POPIS	ROZMER	KOD	STAV	16
3	ROZPĚRNÝ KROUŽ. 13	ČSN 42 5715.0	11	373		81
1	ROZPĚRNÝ KROUŽ. 14	ČSN 42 5715.0	11	373		82
1	ROZPĚRNÝ KROUŽ. 15	ČSN 42 5715.0	11	373		83
1	ROZPĚRNÝ KROUŽ. 16	ČSN 42 5715.0	11	373		84
1	ROZPĚRNÝ KROUŽ. 17	ČSN 42 5715.0	11	373		85
1	ROZPĚRNÝ KROUŽ. 18	ČSN 42 5715.0	11	373		86
1	ROZPĚRNÝ KROUŽ. 19	ČSN 42 5715.0	11	373		87
2	ROZPĚRNÝ KROUŽ. 20	ČSN 42 5715.0	11	373		88
2	ROZPĚRNÝ KROUŽ. 21	ČSN 42 5715.0	11	373		89
2	ROZPĚRNÝ KROUŽ. 22	ČSN 42 5715.0	11	373		90
1	ROZPĚRNÝ KROUŽ. 23	ČSN 42 5715.0	11	373		91
1	POUZDRO	ČSN 42 5510.1	11	373		92
1	VÍČKO 1	ČSN 42 5510.1	11	373		93
1	VÍČKO 2	ČSN 42 5510.1	11	373		94
2	VÍČKO 3	ČSN 42 5510.1	11	373		95
1	VÍČKO 4	ČSN 42 5510.1	11	373		96
1	ROZPĚRNÝ KROUŽ. 24	ČSN 42 5715.0	11	373		97
1	VÍČKO 5	ČSN 42 5510.1	11	373		98
2	VÍČKO 6	ČSN 42 5510.1	11	373		99
2	VÍČKO 7	ČSN 42 5510.1	11	373		100

M.Schmidt

5.8.1990

VŠST
Liberec

KUSOVNÍK

15

2-KOM-OS-205-01

11

číslo	popis	typ	počet	poz.		
1	VÍČKO 8	ČSN 42 5510.1	11	373		101
3	VÍČKO 9	ČSN 42 5510.1	11	373		102
1	VÍČKO 10	ČSN 42 5510.1	11	373		103
1	VÍČKO 11	ČSN 42 5510.1	11	373		104
1	VÍČKO 12	ČSN 42 5510.1	11	373		105
3	LOŽISKO 7208	ČSN 02 4645				106
1	LOŽISKO NJ 210	ČSN 02 4670				107
2	ČEP	ČSN 42 5510.1	11	600		108
2	LOŽISKO 6014	ČSN 024630				109
2	LOŽISKO 6010	ČSN 02 4630				110
3	LOŽISKO 6009	ČSN 02 4630				111
6	LOŽISKO 6008	ČSN 02 4630				112
6	LOŽISKO 6007	ČSN 02 4630				113
9	LOŽISKO 6005	ČSN 02 4630				114
8	LOŽISKO 6004	ČSN 02 4630				115
2	LOŽISKO 6003	ČSN 02 4630				116
4	KULIČKA Ø 4	ČSN 02 4541				117
4	PRUŽINA	ČSN 02 6001	12	220		118
4	KOLÍK 12 x 55	ČSN 02 2150.2				119
11	KOLÍK 8 x 30	ČSN 02 2150.2				120

Měřitko: M. Schmidt
 Dostupnost:
 Kvalita:
 Vir. projev:

5.8.1990

VŠST
 Liberec

Typ
 projev
KUSOVNÍK

15

2-KOM-OS-205-01

12

1	LOŽISKO	51 110	ČSN 02 4730					121
3	KROUŽEK	40	ČSN 02 2930					122
1	KROUŽEK	36	ČSN 02 2930					123
2	KROUŽEK	35	ČSN 02 2930					124
9	KROUŽEK	25	ČSN 02 2930					125
7	KROUŽEK	20	ČSN 02 2930					126
1	KROUŽEK	17	ČSN 02 2930					127
2	PERO	12e7x8x63	ČSN 02 2562					128
1	MATKA		ČSN 42 5510.1					129
2	PERO	10e7x8x56	ČSN 02 2562					130
1	PERO	10e7x8x40	ČSN 02 2562					131
1	PERO	8e7x7x25	ČSN 02 2562					132
1	PERO	8e7x7x56	ČSN 02 2562					133
1	PERO	8e7x7x32	ČSN 02 2562					134
3	PERO	8e7x7x18	ČSN 02 2562					135
1	PERO	10e7x8x18	ČSN 02 2562					136
1	PERO	6e7x6x28	ČSN 02 2562					137
1	PERO	8e7x7x30	ČSN 02 2562					138
1	PERO	6e7x6x40	ČSN 02 2562					139
1	PERO	6e7x6x18	ČSN 02 2562					140

卷之三

M. Schmidt

5.8.1990

VŠST
Liberec

KUSOVNÍK

15

2-KOM-OS-205-01

13

1	POJISTKA	ČSN 42 6403	11 600		141
1	DESKA	ČSN 42 5510.1	11 353		142
4	ŠROUB M 20x40	ČSN 02 1143.5			143
23	ŠROUB M 12x28	ČSN 02 1143.5			144
12	ŠROUB M 12x45	ČSN 02 1101.5			145
4	ŠROUB M 12x35	ČSN 02 1101.5			146
4	ŠROUB M 10x55	ČSN 02 1101.5			147
41	ŠROUB M 6x15	ČSN 02 1101.5			148
40	ŠROUB M 4x12	ČSN 02 1101.5			149
4	MATICE M10	ČSN 02 1401.5			150
10	MATICE M10x1	ČSN 02 1403.5			151
1	KROUŽEK 77	ČSN 02 4605			152
2	MATICE KM 14	ČSN 02 3630			153
3	MATICE KM 10	ČSN 02 3630			154
2	MATICE KM 9	ČSN 02 3630			155
3	MATICE KM 8	ČSN 02 3630			156
3	MATICE KM 7	ČSN 02 3630			157
2	PODLOŽKA MB 14	ČSN 02 3640			158
3	PODLOŽKA MB 10	ČSN 02 3640			159
2	PODLOŽKA MB 9	ČSN 02 3640			160

M.Schmidt

5.8.1990

VŠST

Liberec

KUSOVNÍK

15

2-KOM-OS-205-01

14

Mettko | Dr. M. Schmidt

5.8.1990

VŠST
Libere

KUSOV NÍK

15

2-KOM-OS-205-01

15